

Experimentálne metódy

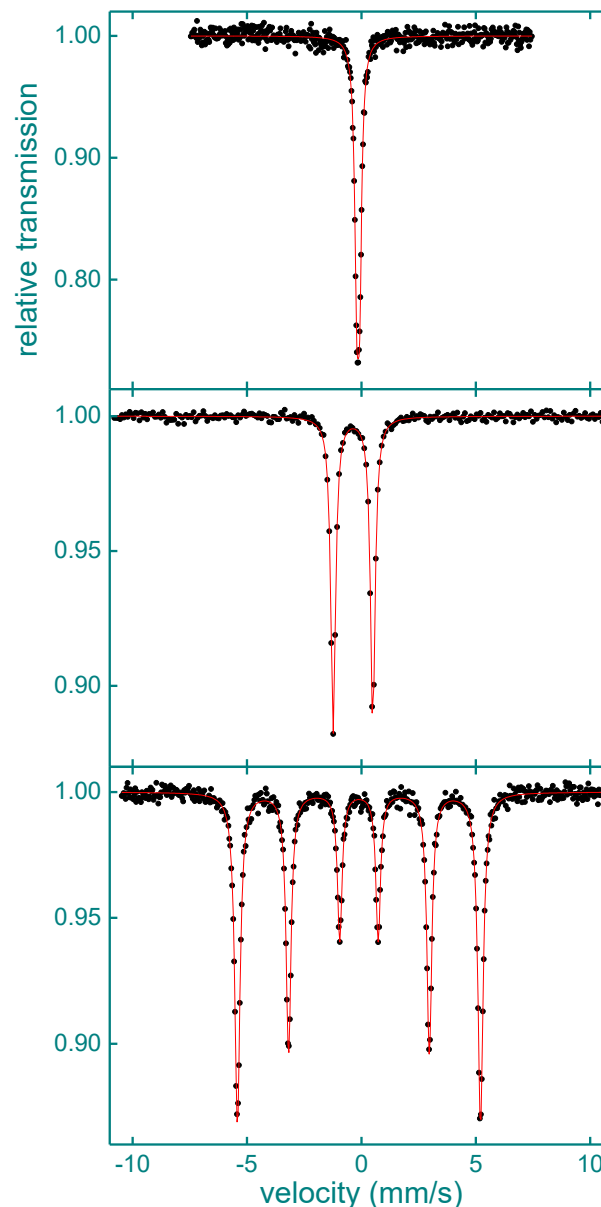
Marcel MiGLiERiNi

6. Mössbauerova spektrometria 2

- hyperjemné interakcie
 - elektrická monopólová
 - elektrická kvadrupólová
 - magnetická dipólová
- kalibrácia spektra
- vybrané aplikácie

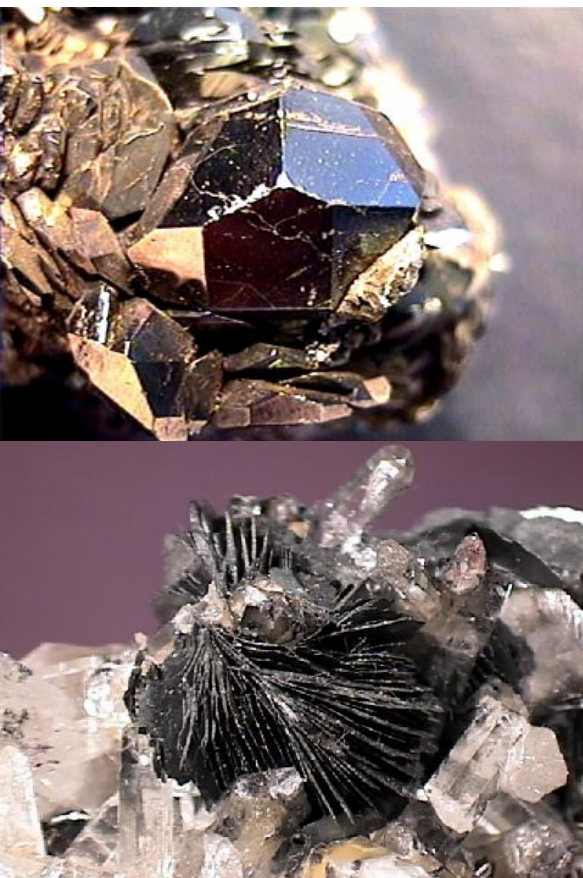
Typy spektier

- nehrdzavejúca oceľ
Fe55%-Cr25%-Ni20%
- sodium nitroprusid
 $\text{Na}_2[\text{Fe}(\text{CN})_5\text{NO}].2\text{H}_2\text{O}$
- kovové železo
bcc-Fe



Magnetické oxidy

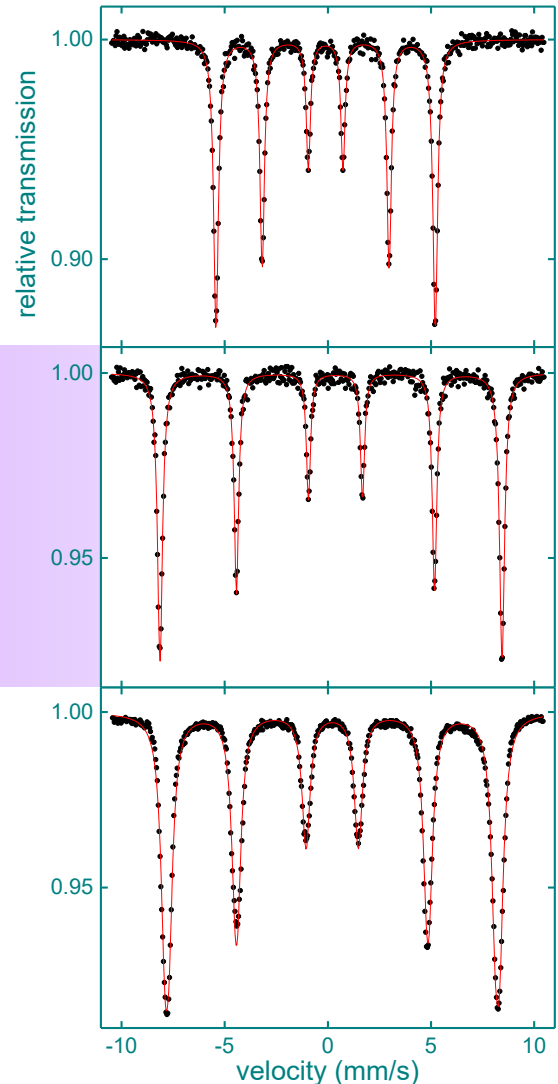
- Fe-obsahující minerály



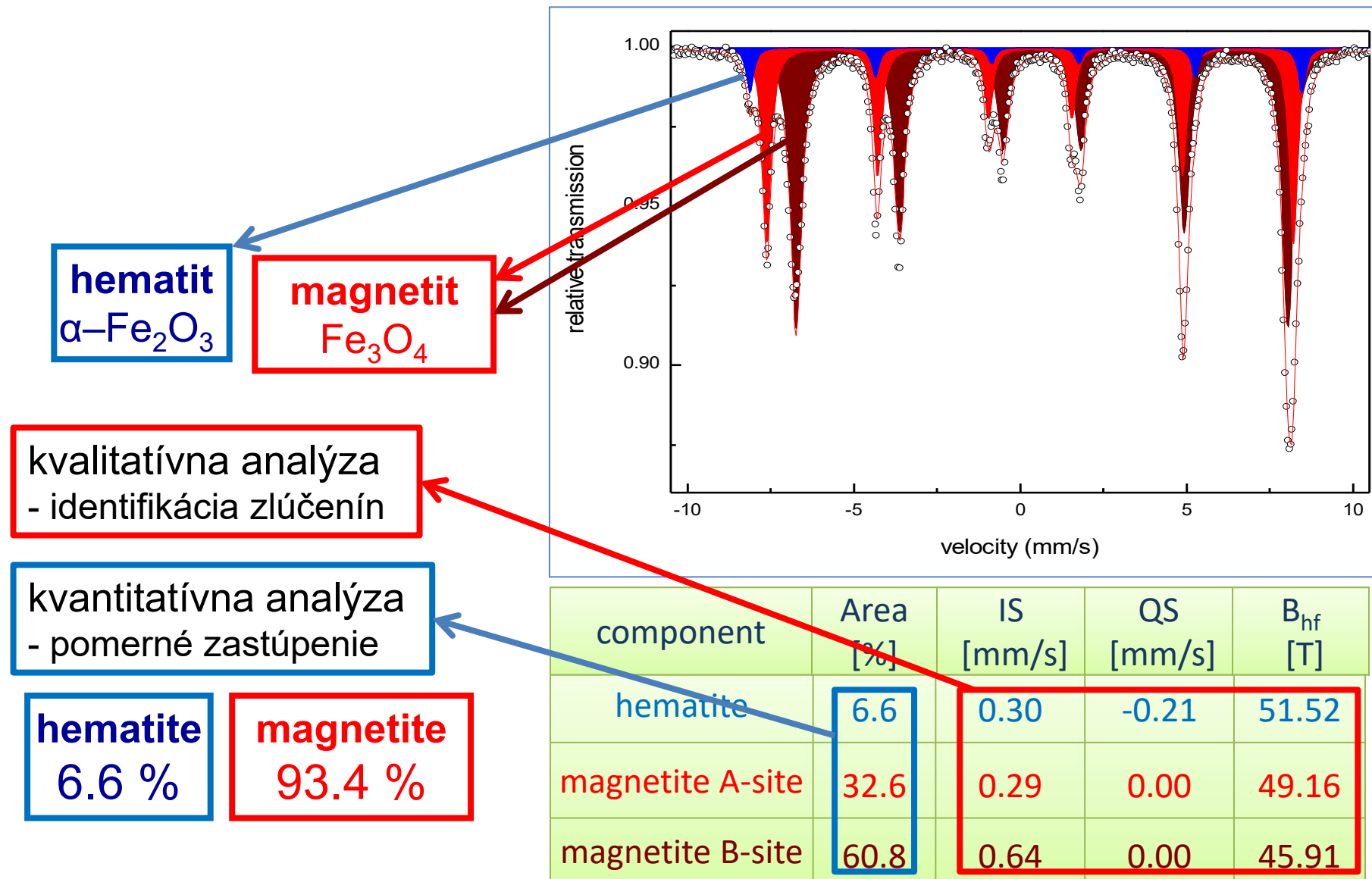
$\alpha\text{-Fe}$
 $B_{\text{eff}} = 33.1\text{T}$

hematit
 $\alpha\text{-Fe}_2\text{O}_3$
 $B_{\text{eff}} = 51.6\text{T}$

maghemit
 $\gamma\text{-Fe}_2\text{O}_3$
 $B_{\text{eff}} = 49.1\text{T}$
 $B_{\text{eff}} = 50.4\text{T}$

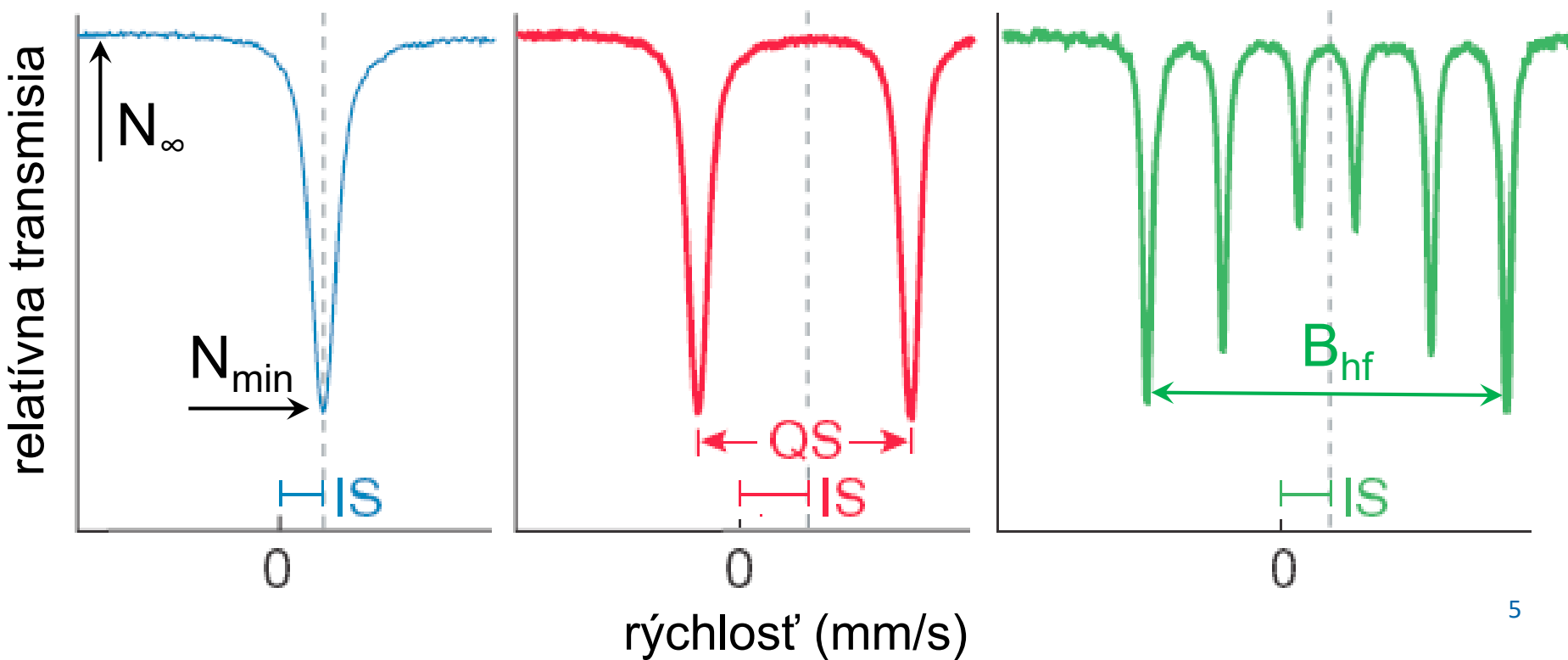


Vyhodnotenie spektra



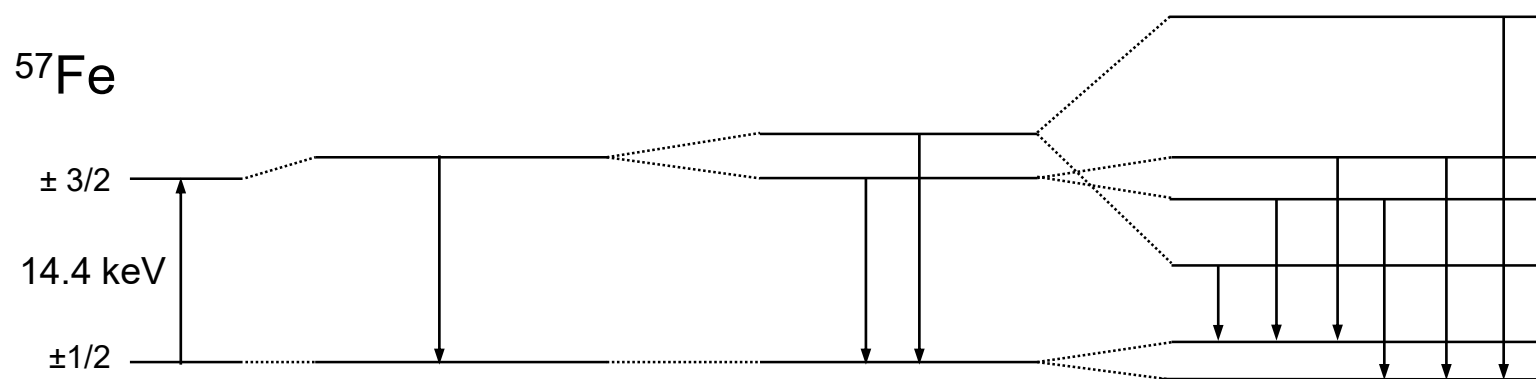
Spektrálne parametre

- izomérny posun – IS (δ)
- kvadrupólové štiepenie/posun – QS (Δ)/ ε
- hyperjemné magnetické pole – B_{hf}
- intenzita (plocha), šírka čiary, efekt: $\varepsilon = \frac{N_\infty - N_{\min}}{N_\infty} \cdot 100 \text{ (%)}$



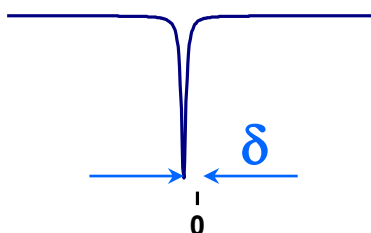
Hyperjemné interakcie

interakcia: elektrická monopólová elektrická kvadrupólová magnetická dipólová

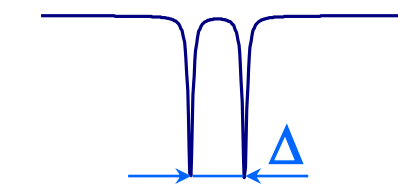


$$E_\gamma = E_0(1+v/c)$$

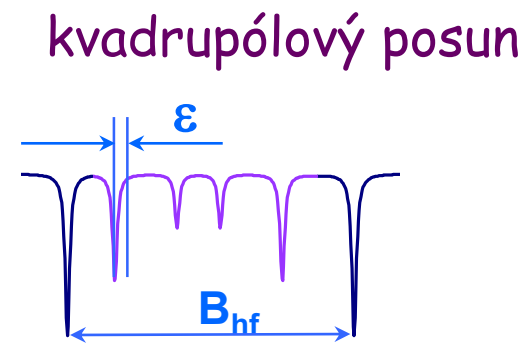
spektrálny parameter:



izomérny posun



kvadrupólové štiepenie



hyperjemné pole

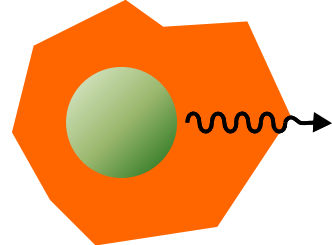
Elektrická monopólová interakcia

- interakcia rozloženia náboja jadra s hustotou elektrónov v priestore jadra (v zdroji a v absorbátore)
 - hustota s-elektrónov v jadre

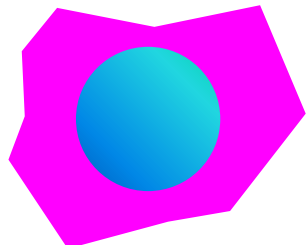
- izomérny posun:

$$\delta = \frac{2\pi}{5} Ze^2 [R_e^2 - R_g^2] \cdot \{\rho_a - \rho_s\}$$

jadrové vlastnosti



elektrónové vlastnosti



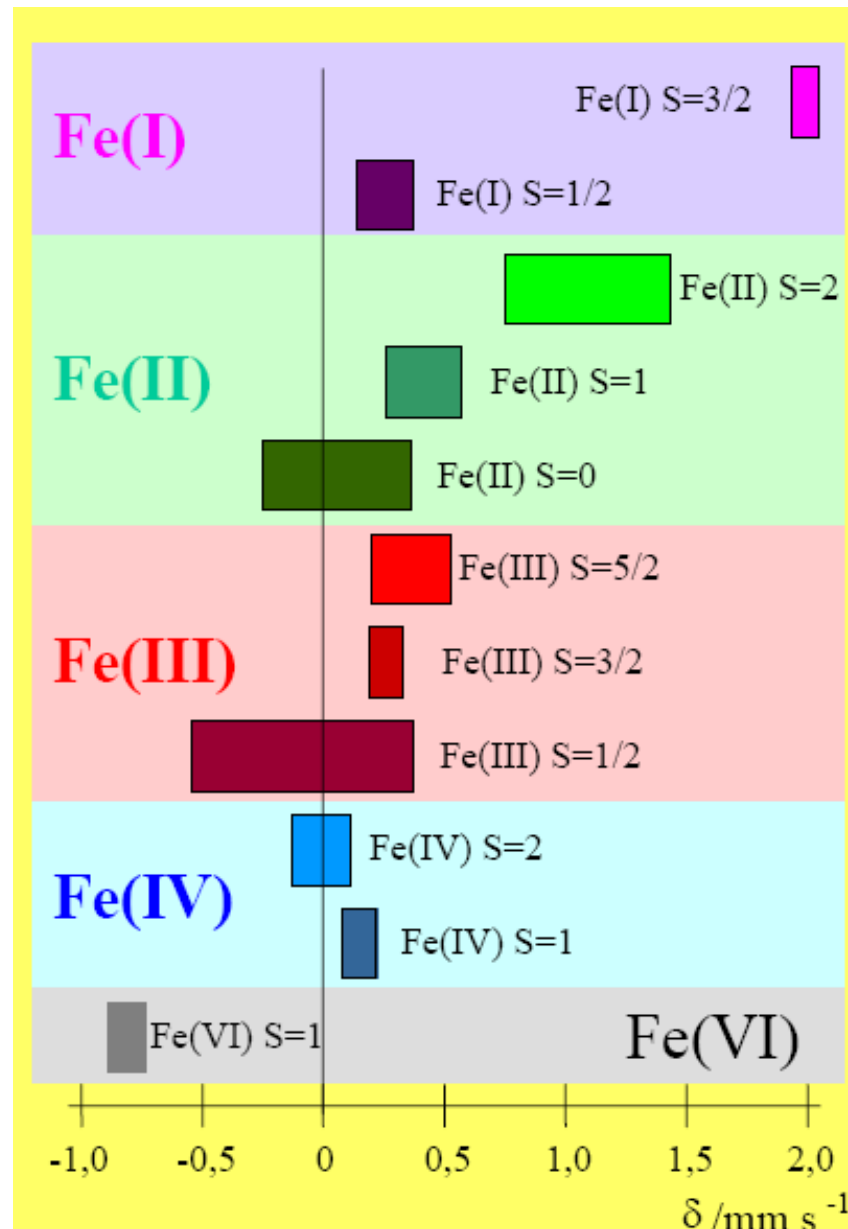
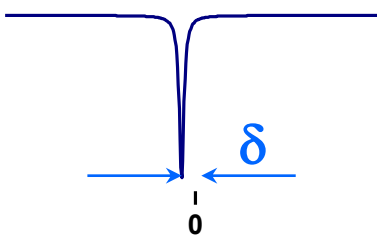
- polomer jadra: $R_e \neq R_g$
- hustota elektrónov: $\rho_a \neq \rho_s$
- pre ^{57}Fe : $(R_e^2 - R_g^2) < 0$

zdroj (s)

absorbátor (a)

Izomérny posun - δ

- určený s ohľadom na referenčný materiál (bcc-Fe)
- informácia o:
 - charaktere väzieb
 - spinovom stave (HS, LS)
 - oxidačnom stave
 - elektronegativite ligandov



Elektrická kvadrupólová interakcia

- interakcia medzi jadrovým kvadrupólovým momentom a nehomogenitami elektrického poľa

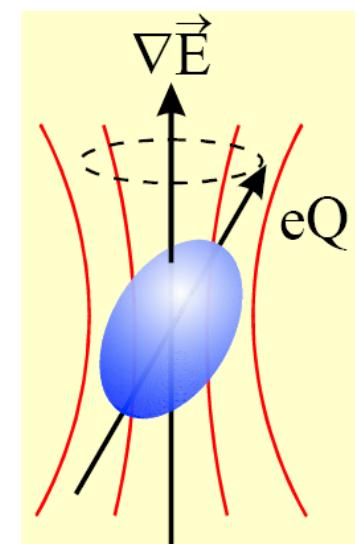
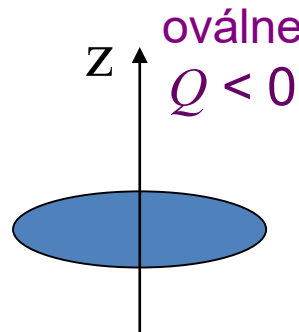
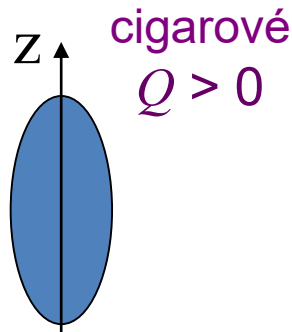
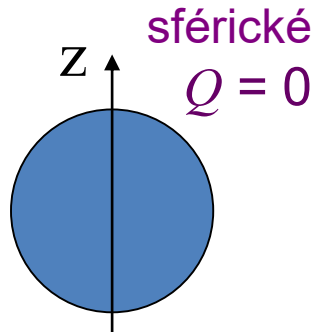
$$\eta = \frac{V_{XX} - V_{YY}}{V_{ZZ}}$$

$$0 \leq \eta \leq 1$$

η – parameter asymetrie

- kvadrupólové štiepenie: $\Delta = \frac{1}{2} \cdot eV_{zz} \left(1 + \frac{1}{3} \eta^2 \right)^{\frac{1}{2}} \cdot Q$

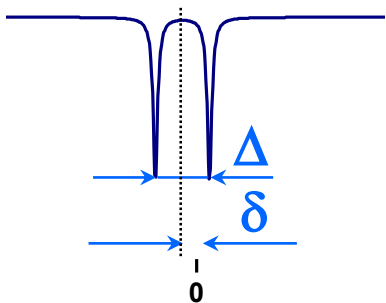
- jadrová podmienka: elektrický kvadrupólový moment – $eQ \neq 0$ ($I > 1/2$)
- elektrónová podmienka: EFG $\neq 0$
 - príspevok mriežky
 - príspevok od valenčných elektrónov



Kvadrupóllové štiepenie – Δ

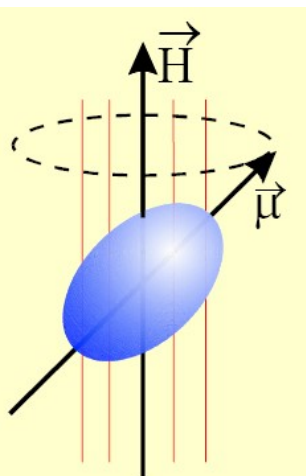
■ informácia o:

- lokálnej (molekulárnej alebo kryštálovej) symetrii
- oxidačnom stave
- charaktere väzieb
- spinovom stave (HS, LS)



Magnetická dipólová interakcia

- interakcia jadrového magnetického momentu s vnútorným alebo aplikovaným magnetickým polom
- magnetická energia: $E_{m_I} = -\frac{\mu H m_I}{I} = -g_N \beta_N H m_I$
- magnetické štiepenie jadrových hladín (Zeemanov jav):
 - jadrová podmienka: magnetický dipólový moment $\mu \neq 0$ ($I > 0$)
 - elektrónová podmienka: $H \neq 0$
 - výberové pravidlá: $\Delta I = \pm 1$, $\Delta m_I = 0, \pm 1$

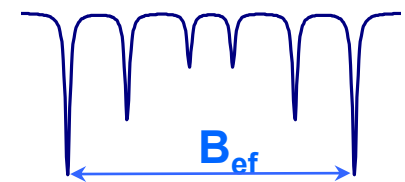


g_N – jadrový Landého faktor
 β_N – jadrový Bohrov magnetón
 I – jadrový spin
 m_I – magnetické kvantové číslo
 μ – jadrový dipólový moment
 H – intenzita magnetického poľa

Hyperjemné pole

- pôvod indukcie hyperjemného pol'a
 - orbitálny člen: pohyb elektrónov (žiadny príspevok z úplne zaplnených a polozaplnených sfér)
 - dipólový člen: magnetický dipólový moment
 - Fermiho kontaktná interakcia: príspevok s-elektrónov v priestore jadra
 - príspevok vodivostných elektrónov prostredníctvom výmennej interakcie

$$B_{hf} = B_{orb} + B_{dip} + B_{kon} + B_{vod}$$



$$B_{ef} = B_{hf} + B_{ext}$$

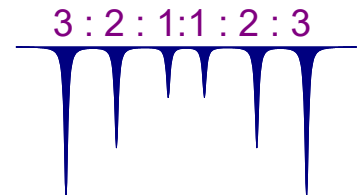
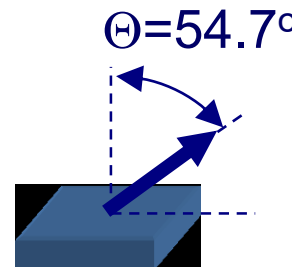
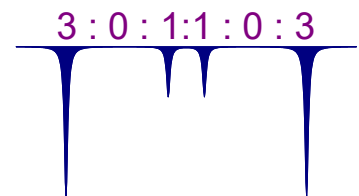
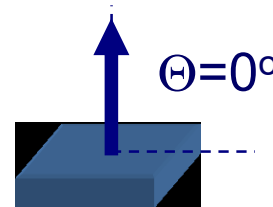
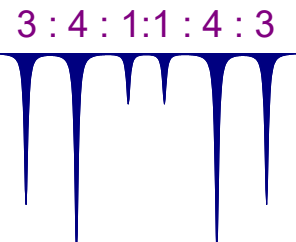
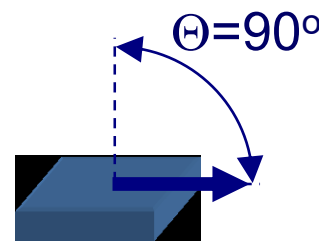
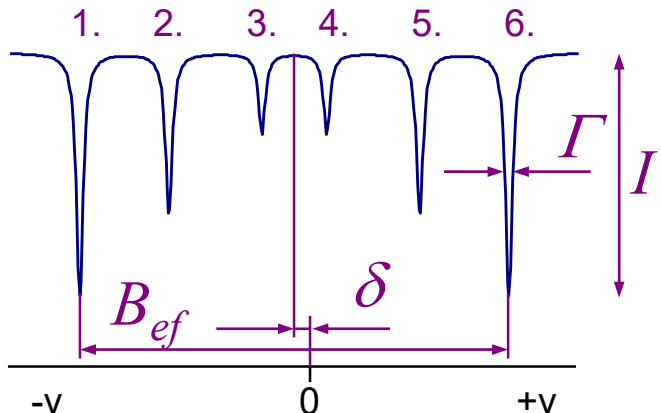
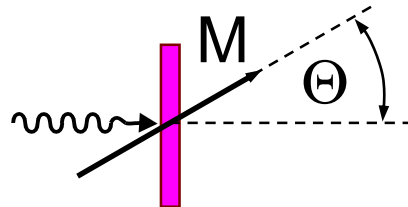
Intenzity čiar sextetu

- Clebsh-Gordanove koeficienty

prechod	Δm_I	uhlová závislosť
$\pm 3/2 \rightarrow \pm 1/2$	± 1	$3/4(1 + \cos^2 \Theta)$
$\pm 1/2 \rightarrow \pm 1/2$	0	$\sin^2 \Theta$
$\mp 1/2 \rightarrow \pm 1/2$	± 1	$1/4(1 + \cos^2 \Theta)$

$$l_1:l_2:l_3:l_4:l_5:l_6 = 3:b:1:1:b:3$$

$$b = \frac{4 \cdot \sin^2 \Theta}{1 + \cos^2 \Theta}$$



Kombinované hyperjemné interakcie

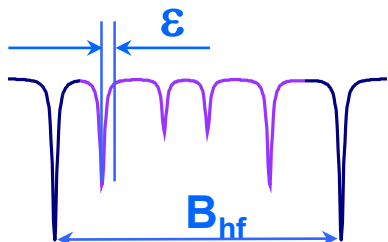
- magnetické dipólové a elektrické kvadrupólové interakcie pôsobia súčasne

- treba použiť poruchový počet
- magnetická interakcia je omnoho silnejšia - eigenvalues:

$$E_{m_I} = -g_N \beta_N H m_I + (-1)^{|m_I|+1/2} \cdot \frac{1}{4} e Q V_{zz} \cdot \frac{1}{2} (3 \cos^2 \vartheta - 1 + \eta \sin^2 \vartheta \cos 2\phi)$$

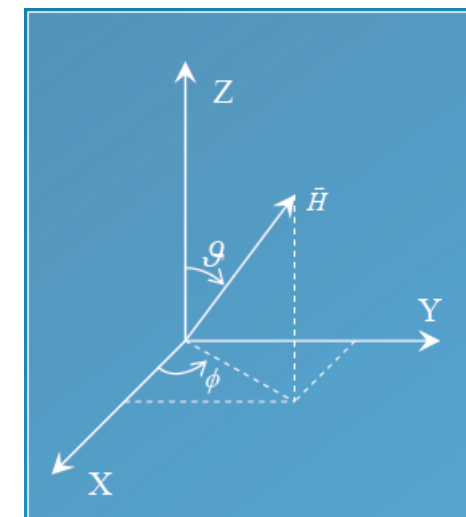
- elektrická interakcia – z poruchovej teórie:

$$E_q = \frac{1}{8} e Q V_{zz} \cdot (3 \cos^2 \vartheta - 1 + \eta \sin^2 \vartheta \cos 2\phi)$$



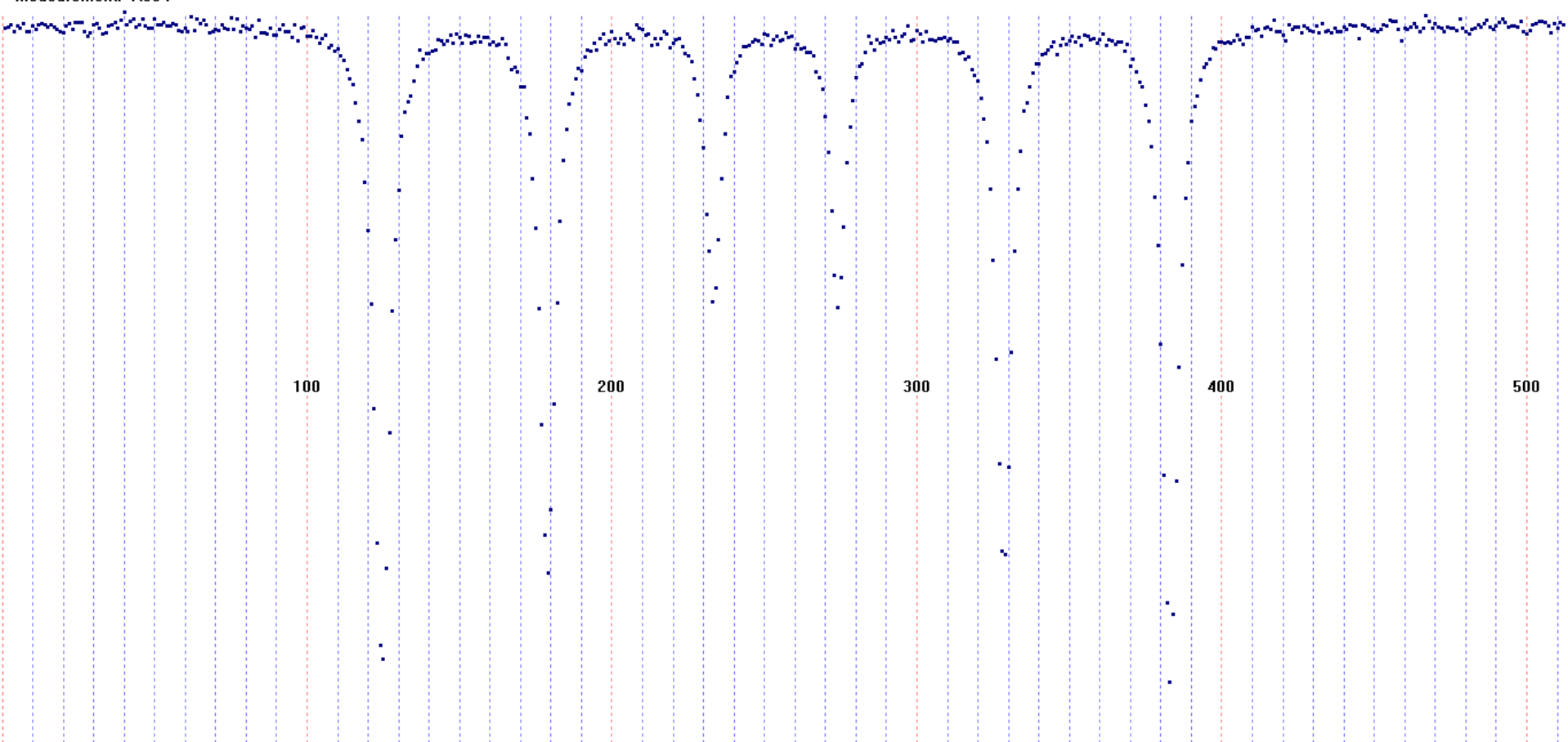
ϑ, ϕ – uhly medzi smerom magnetického poľa H a hlavnou osou EFG tenzora V_{zz}

ϵ – kvadrupólový posun

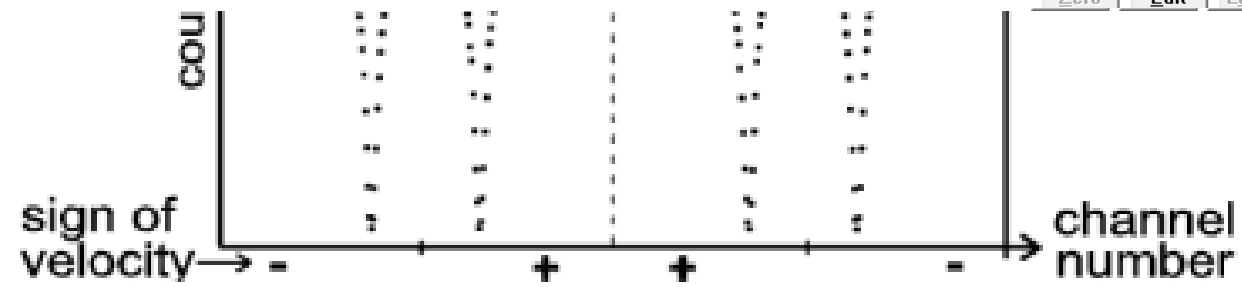


Składanie spektra

Measurement: -R664



Zero Edit Logfile Continue STOP Distr.



Kalibrácia spektrometra

- zdroj žiarenia: ^{57}Co v matrici Rh, Pd, Cu, Cr
 - izomérny posun ovplyvnený chemickým okolím žiariča
- nastavenie rýchlosťi
 - kalibrácia rýchlostnej stupnice
 - kalibračné absorbátory
 - bcc-Fe
 - $\alpha\text{-Fe}_2\text{O}_3$ (hematit)
 - sodium nitroprusid
 - nastavenie nulovej rýchlosťi

Isomer Shift
(mm/s)

Au 0.641

Ag 0.499

Pt 0.344

Cu 0.227

Pd 0.170

Rh 0.109

Mo 0.047

Nb 0.001

Fe 0.0

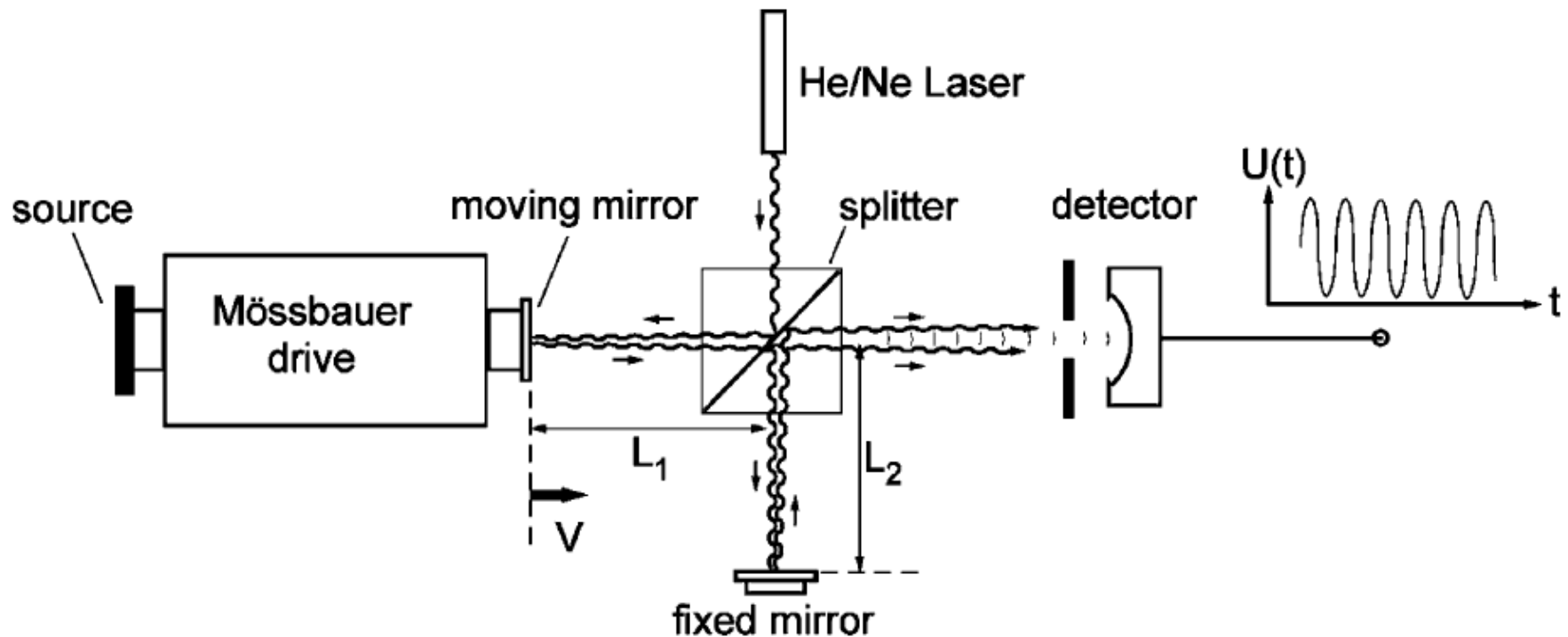
Cr -0.147

SNP -0.257

Kalibrácia rýchlosťi laserom

- Michelsonov interferometer

- $\circ \Delta S = 2.(L_1 - L_2)$

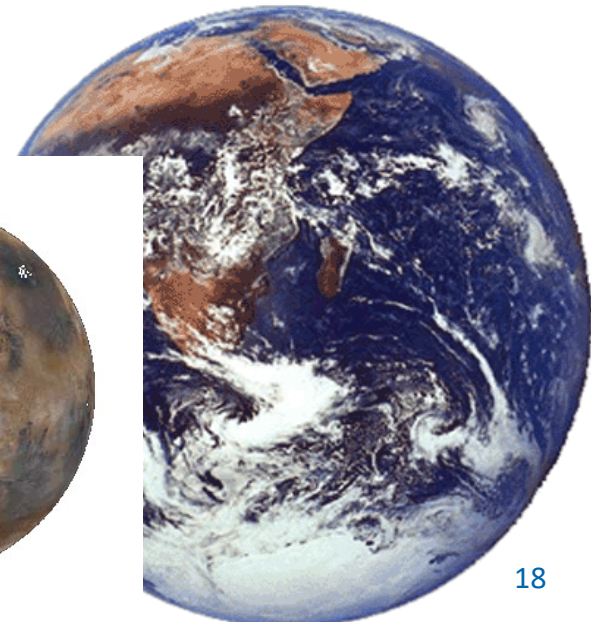


Uplatnenie Mössbaurovej spektrometrie

statické štúdie

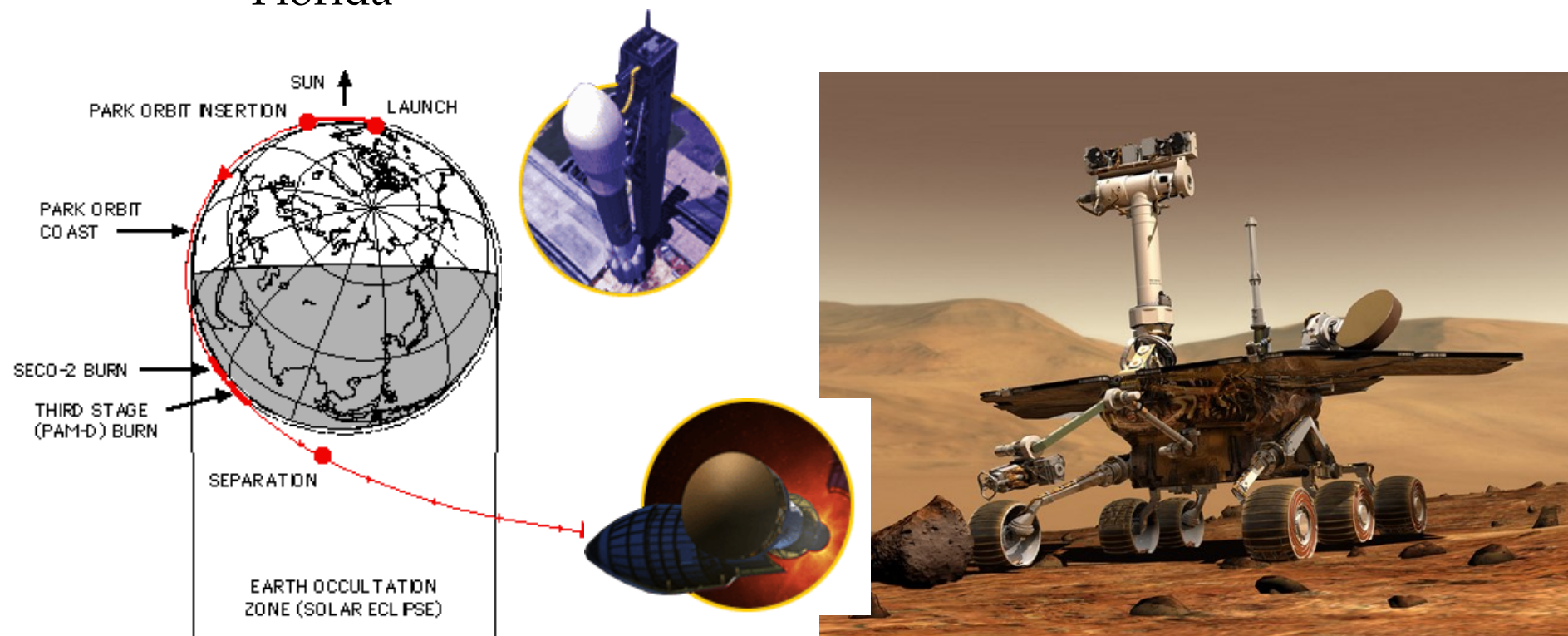
- štruktúrne informácie (koordinácia, geometria, stoichiometria, substitúcia, nekryštalické systémy - SRO)
- identifikácia fáz (magnetické vs. nemagnetické fázy)
- $\text{Fe}^{2+}/\text{Fe}^{3+}$
- energetické rozlíšenie $1 : 10^{13}$
(atómové spektrá $1 : 10^8$)
- teplotné a tlakové štúdie

dynamické procesy:
fázové transformácie,
oxidácia, difúzia, atď'.



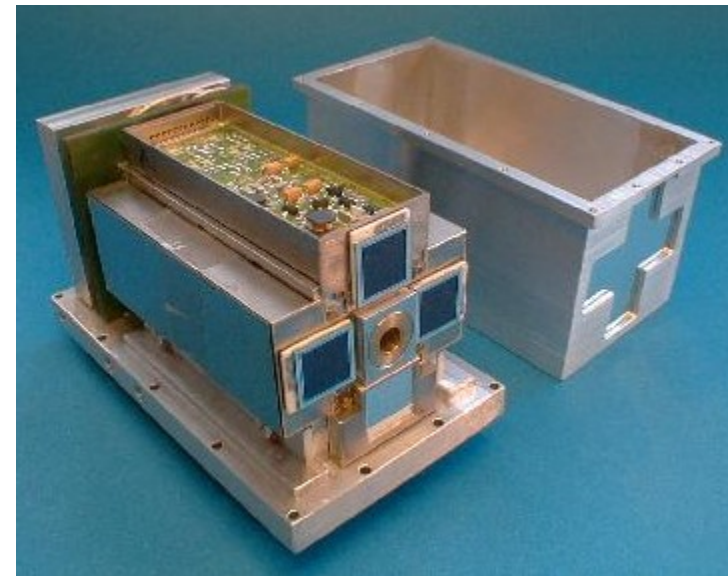
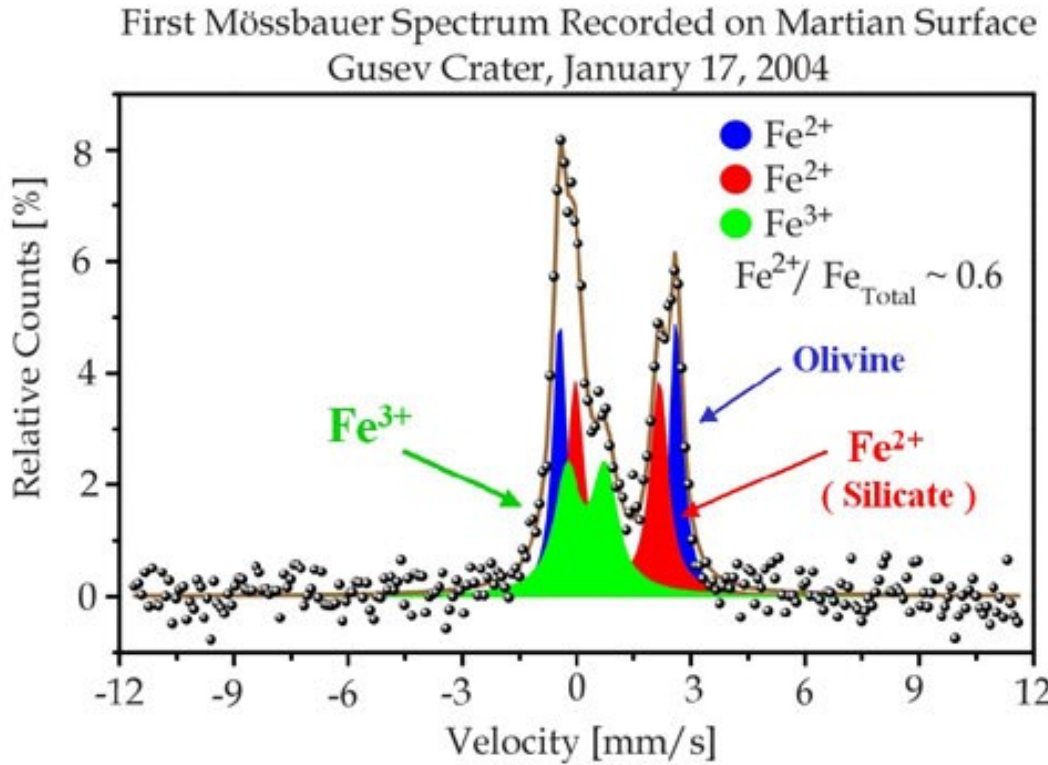
Extraterestriálne aplikácie

- misie na Mars
 - Mars-Express Beagle 2, 2.6.2003, Bajkonur
 - Mars Exploration Rover, 10.6.2003 MER-A Spirit
 - MER-B Opportunity, 7.7.2003, Cape Canaveral, Florida



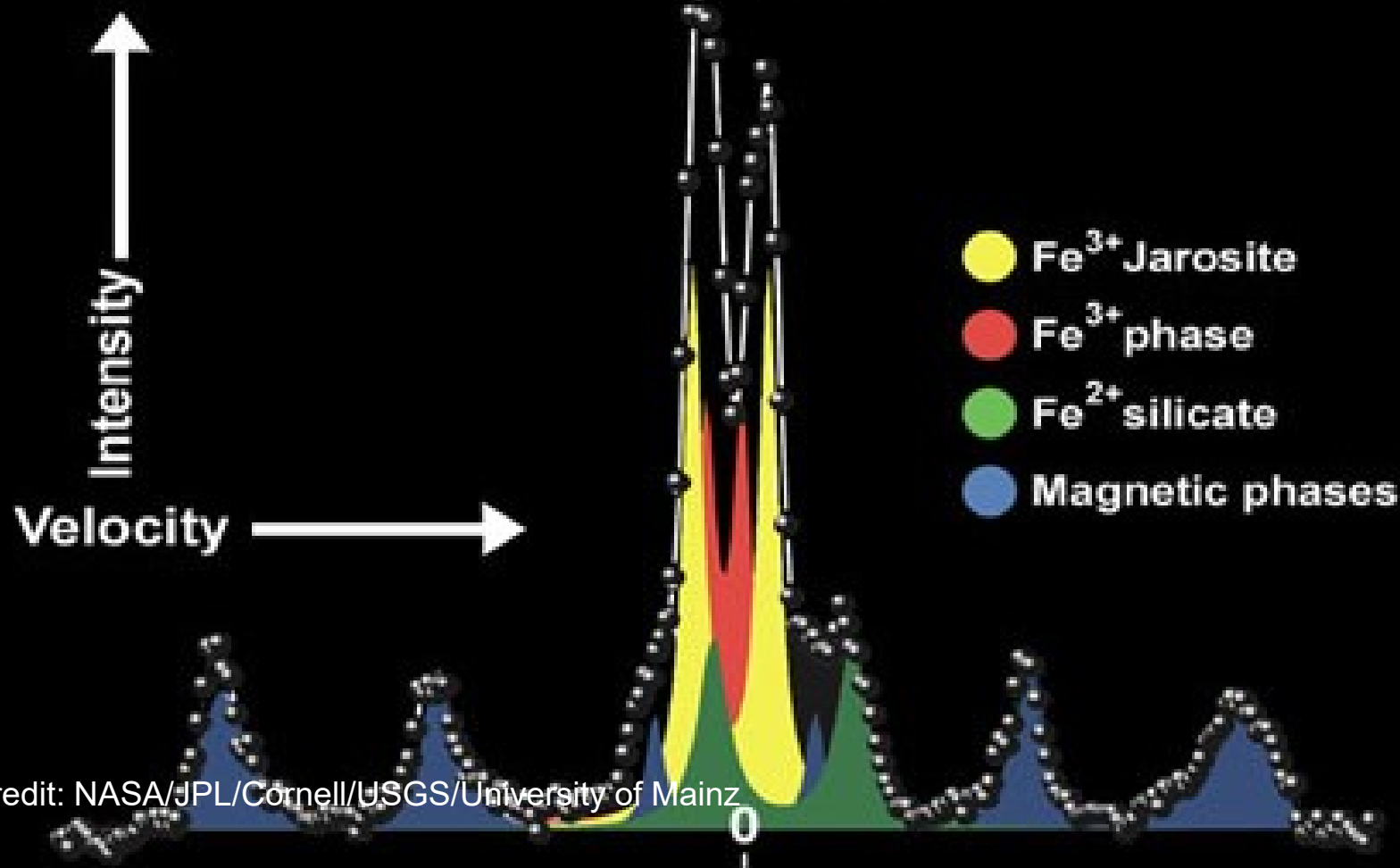
MIMOS II

- MIniaturized MOSsbauer Spectrometer – MIMOS II
 - váha < 500g, spotreba energie < 3W, doba použiteľnosti ~6 mesiacov



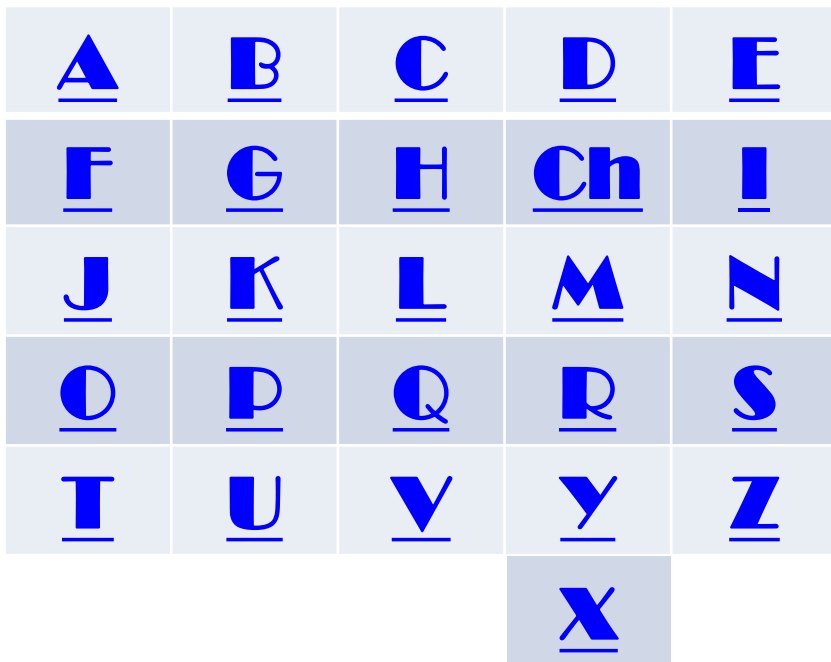
MER Spirit

Mössbauer Spectrum of El Capitan: Meridiani Planum
Jarosite: $(K, Na, X^{+1})Fe_3(SO_4)_2(OH)_6$



Vybrané aplikácie

- výber podľa abecedy



pozn: Uvedené sú len aplikácie, ktoré boli realizované na ÚJFI (KJFT) autorom.

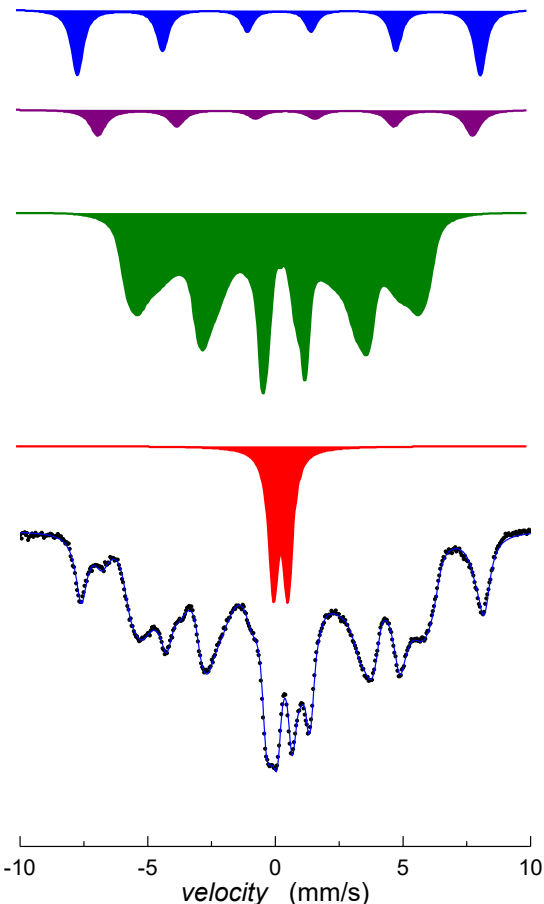


Archeológia

A



malé úlomky



magnetit Fe_3O_4 A poloha

magnetit Fe_3O_4 B poloha

goethit $\alpha\text{-FeOOH}$

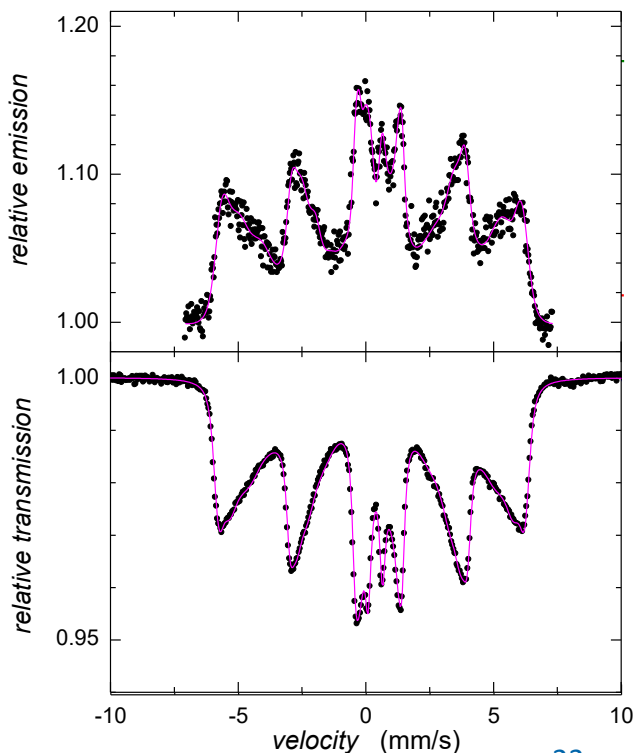
odrazová
geometria

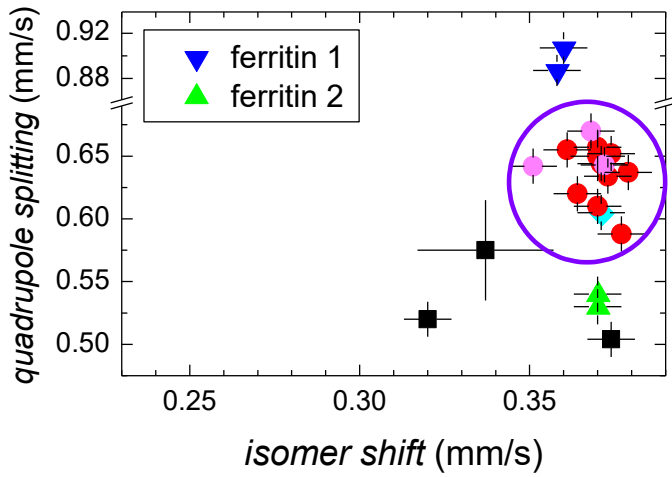
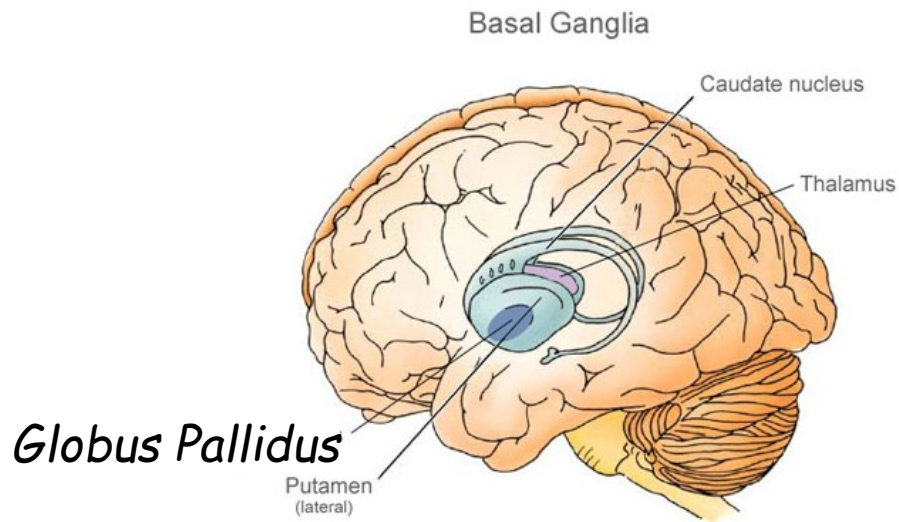
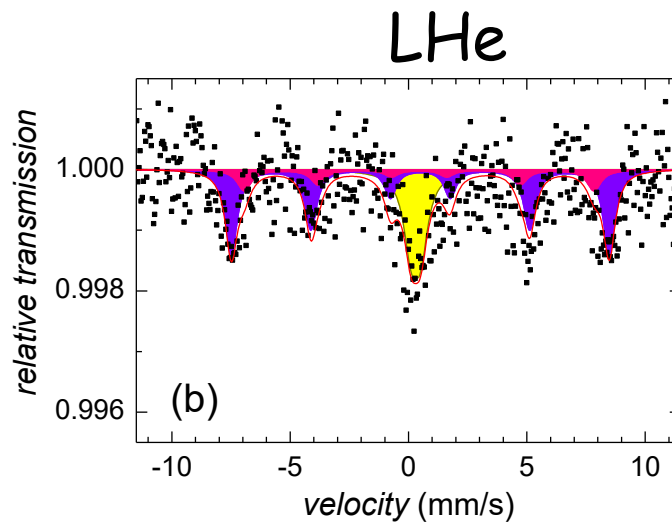
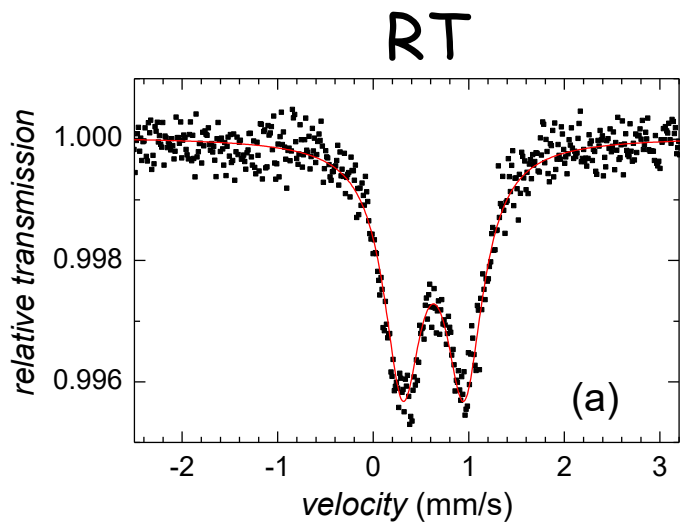
lepidokrokit $\gamma\text{-FeOOH}$

transmisiuá
geometria



povrchové útvary

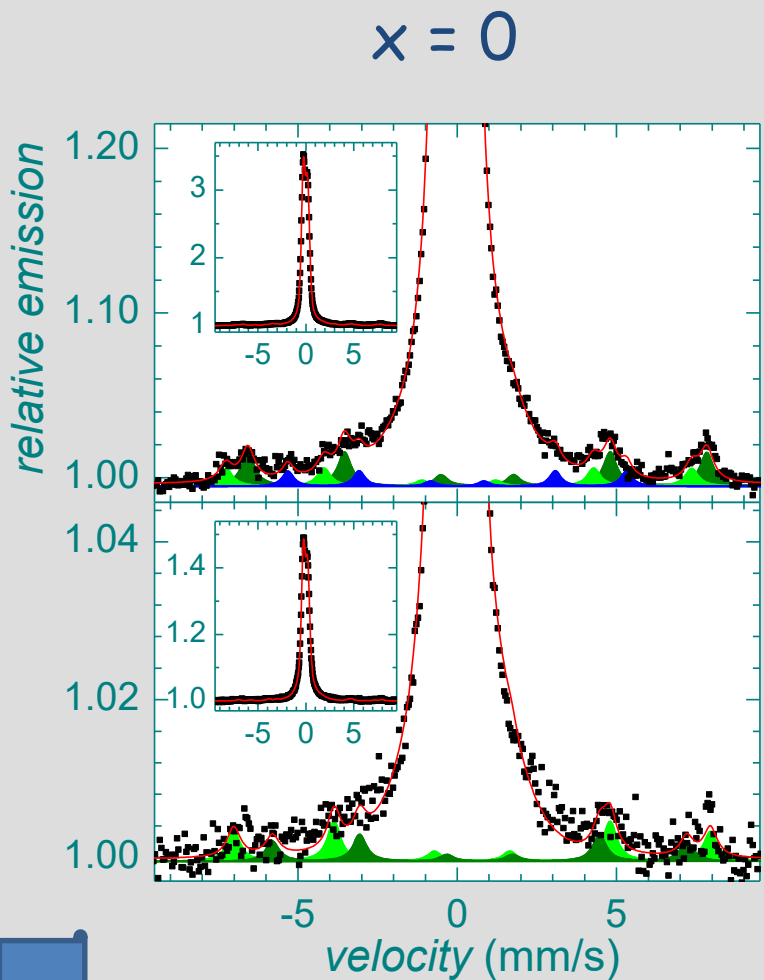






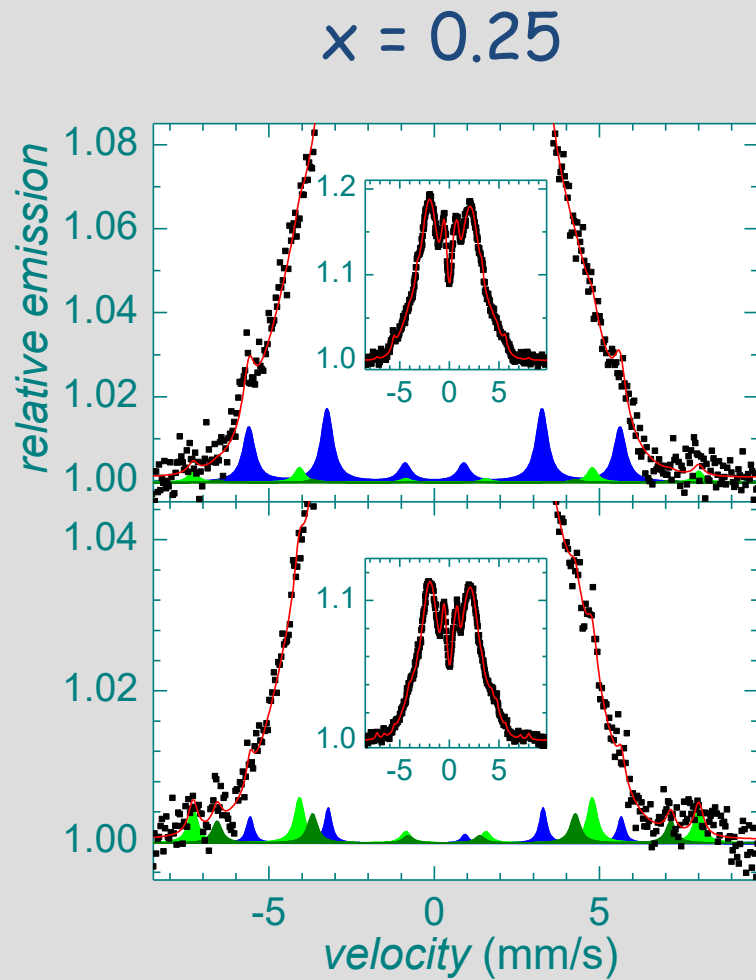
- $(^{57}\text{Fe}_{1-x}\text{Co}_x)_{76}\text{Mo}_8\text{Cu}_1\text{B}_{15}$

Migliorini M et al.: *Hyperfine Int.* **205** (2012) 125



CEMS

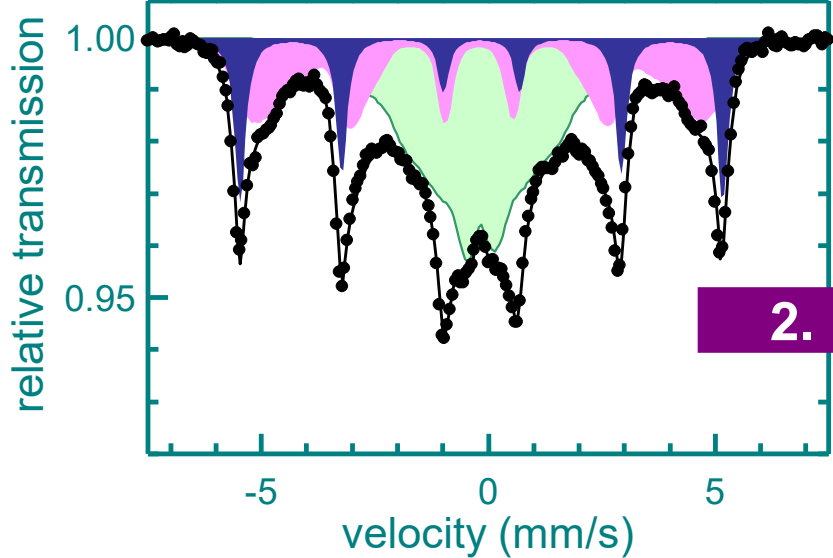
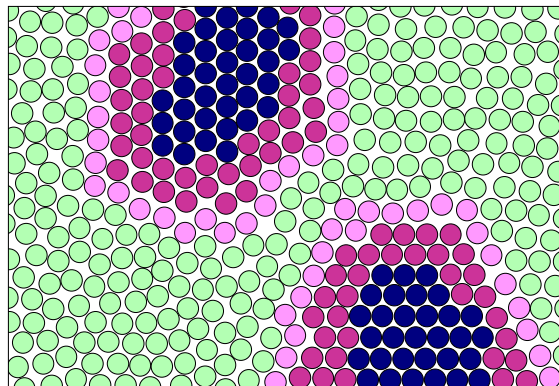
CXMS



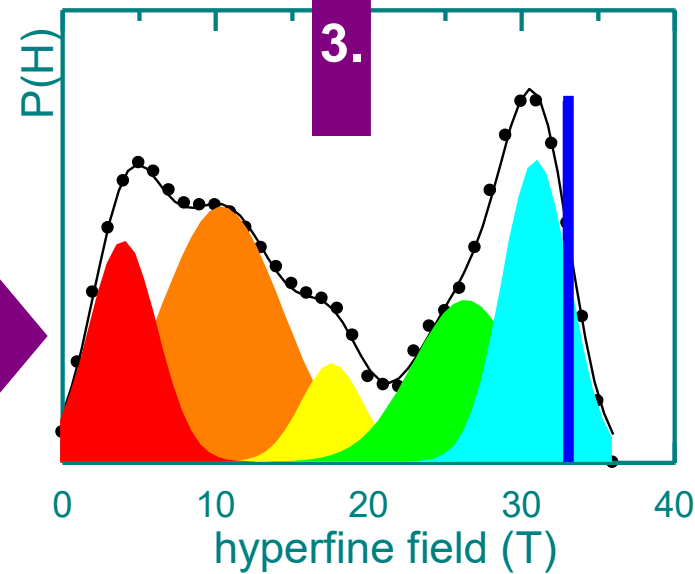
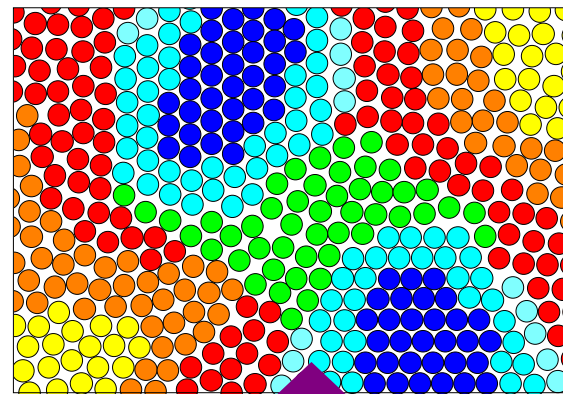
Distribúcia hyperjemných polí

štruktúrne usporiadanie

$\text{Fe}_{80}\text{Mo}_7\text{Cu}_1\text{B}_{12}$
440°C/1h

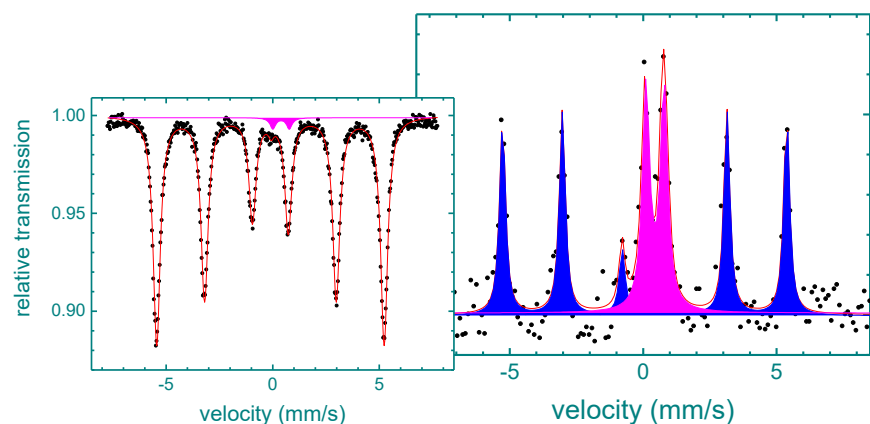
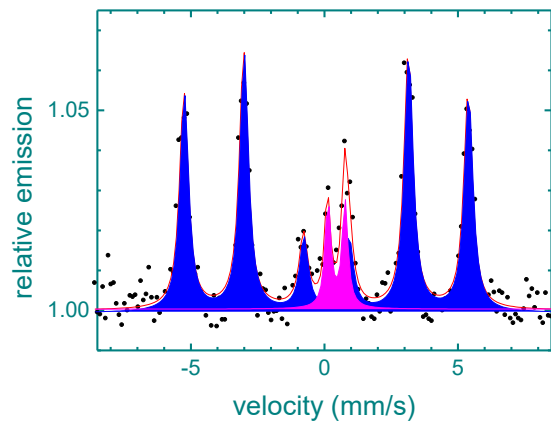
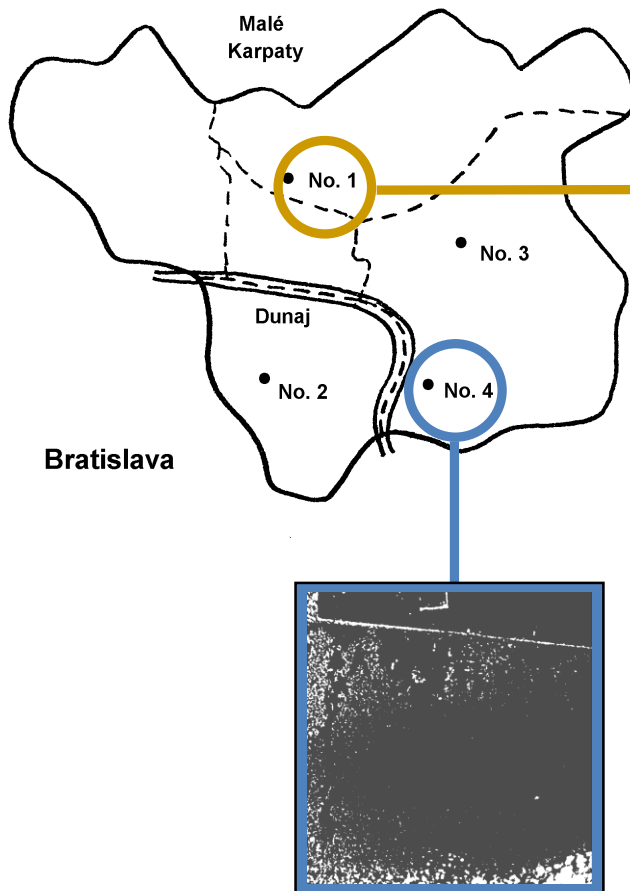


hyperjemné interakcie

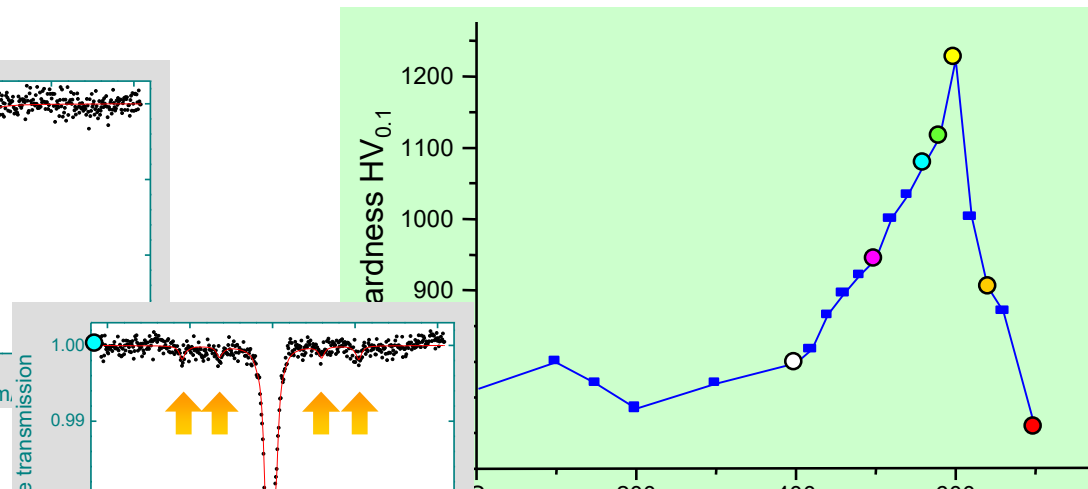
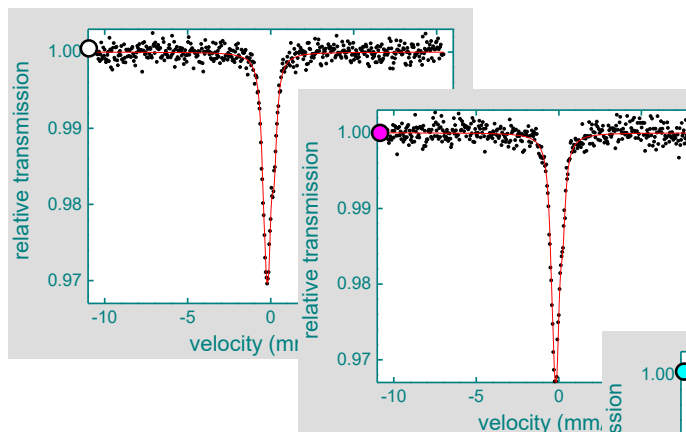


Environmentálne aplikácie

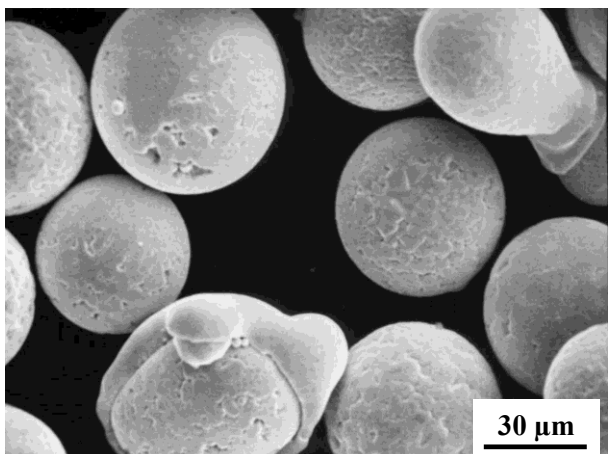
- monitorovanie kvality ovzdušia v urbanistickej zástavbe
 - povrchová expozícia Fe-fólie (21 dní)



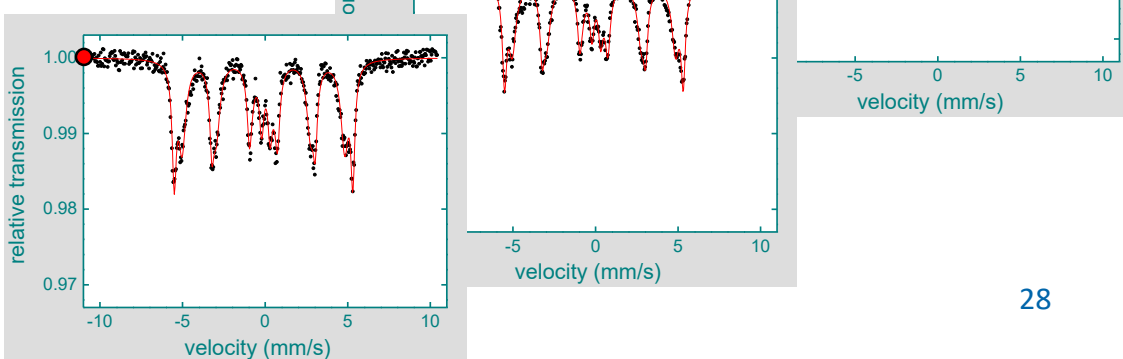
Fázová transformácia



- C 3 %, Cr 3 %, V 12 %
 - austenit \rightarrow martenzit
 - fcc \rightarrow bcc @ ~ 550 $^{\circ}C$

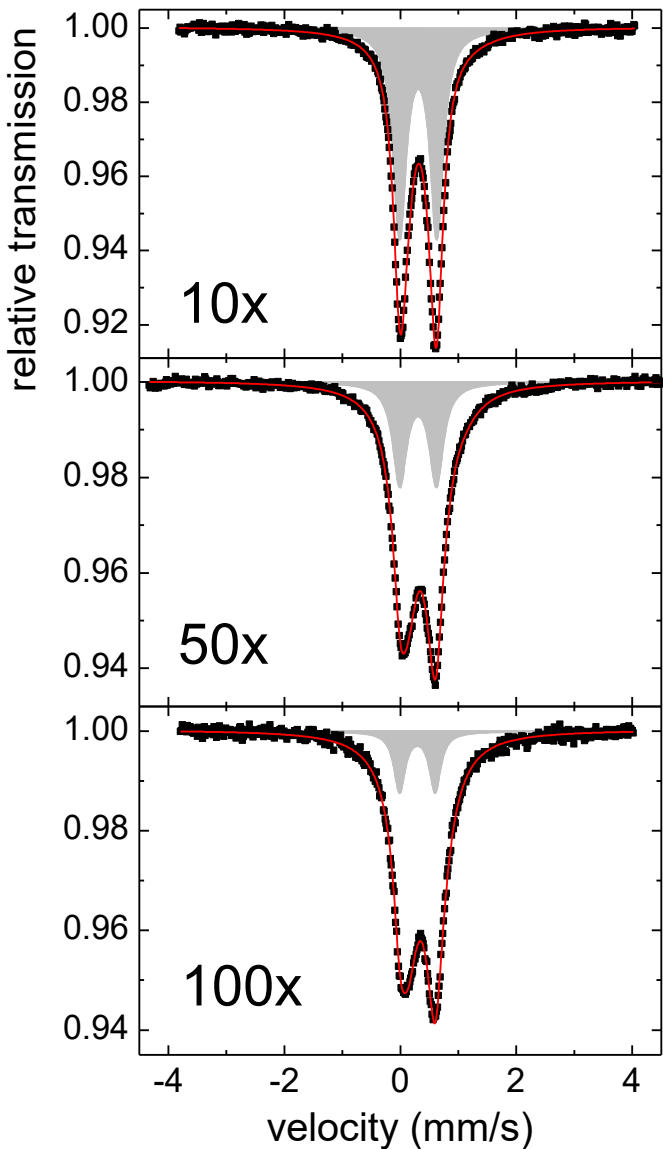


Miglierini M:
Czech. J. Phys.
55 (2005) 813

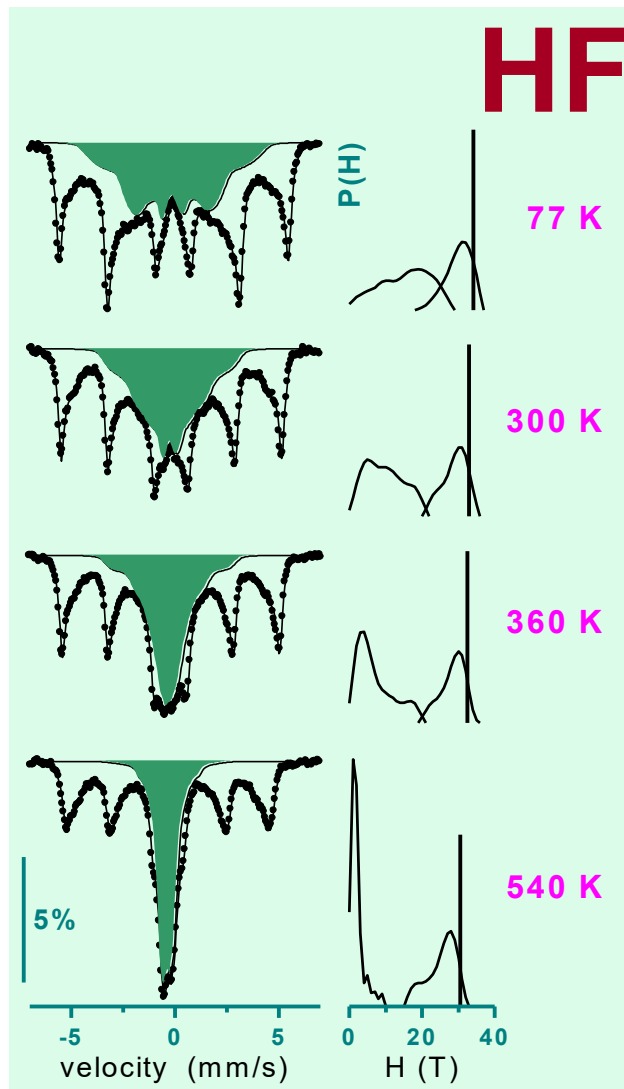
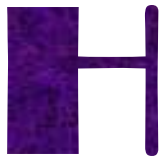


- úložisko rádioaktívneho odpadu
- pyritická oxidácia → stabilita bentonitovej bariéry
- $\text{Fe}^{2+} \downarrow \uparrow$ počet suchých-mokrých cyklov

Osacký M, Šucha V, Miglierini M, Madejová J:
Clay Minerals **47** (2012) 465

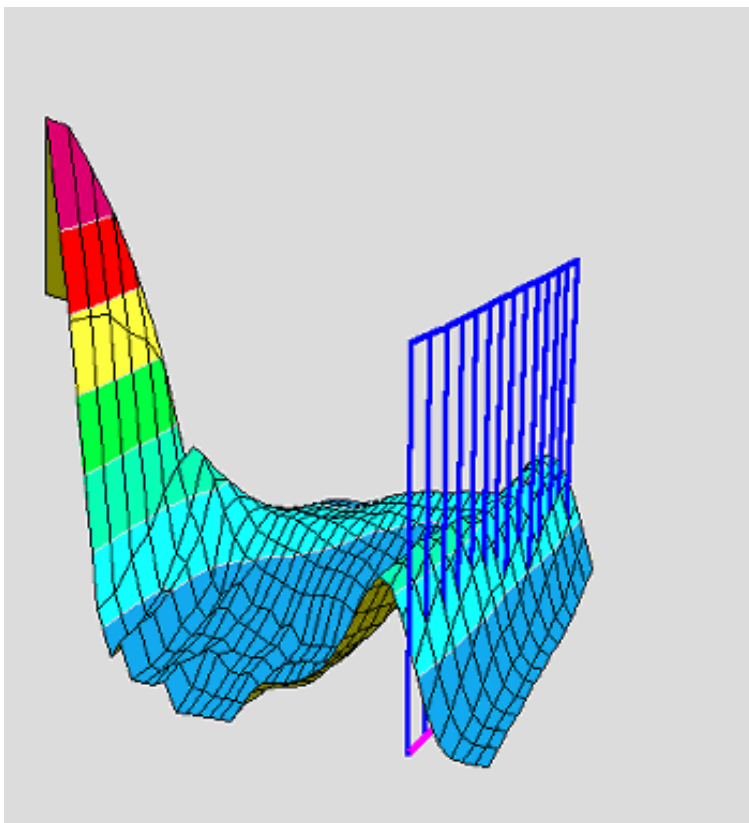


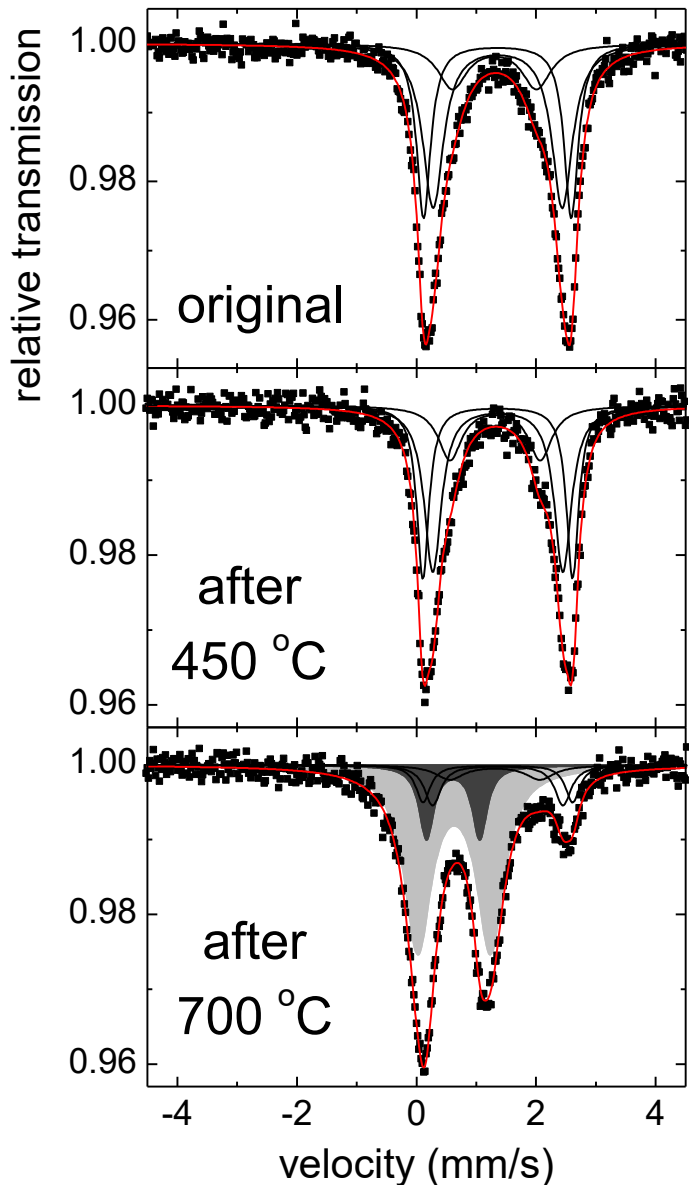
Hyperjemné polia



HFD → **3D-HFD**

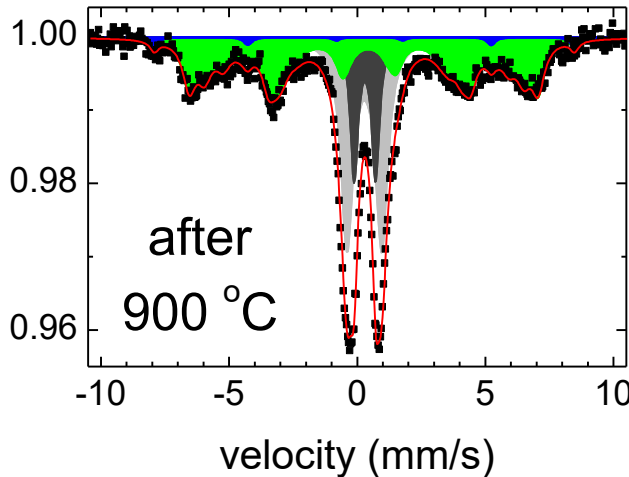
$\text{Fe}_{80}\text{Mo}_7\text{Cu}_1\text{B}_{12} \text{ } 440^\circ\text{C}/1\text{h}$





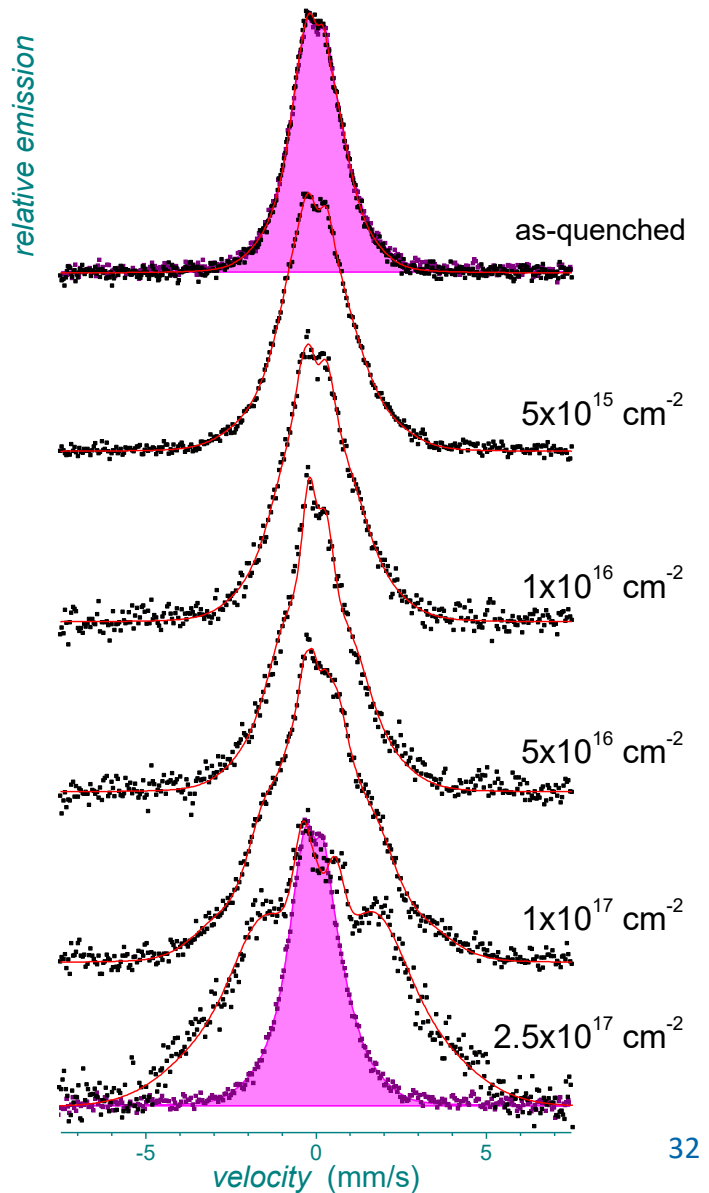
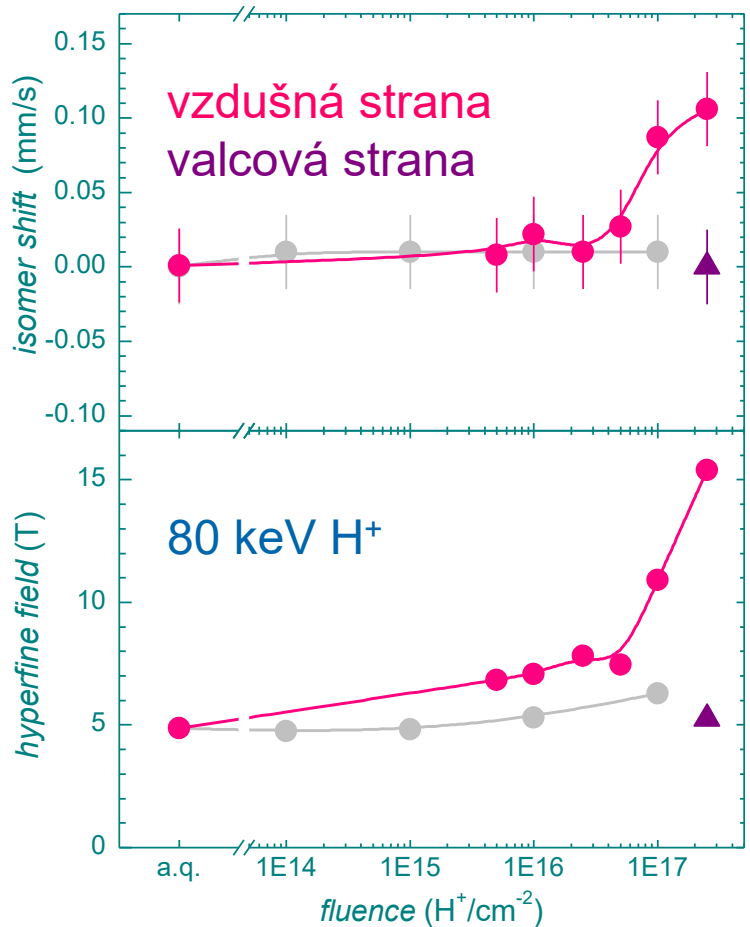
- tourmalíny s obsahom Fe
 - optické vlastnosti
 - žíhanie 8 hodín v oxidačnej atmosfére pri znázornených teplotách
 - $\text{Fe}^{2+} \rightarrow \text{Fe}^{3+}$ @ 700 °C
 - oxidy Fe @ 900 °C

Bačík P, Ozdín D, Miglierini M et al.:
Phys. Chem. Minerals **38** (2011) 599



Iónová implantácia

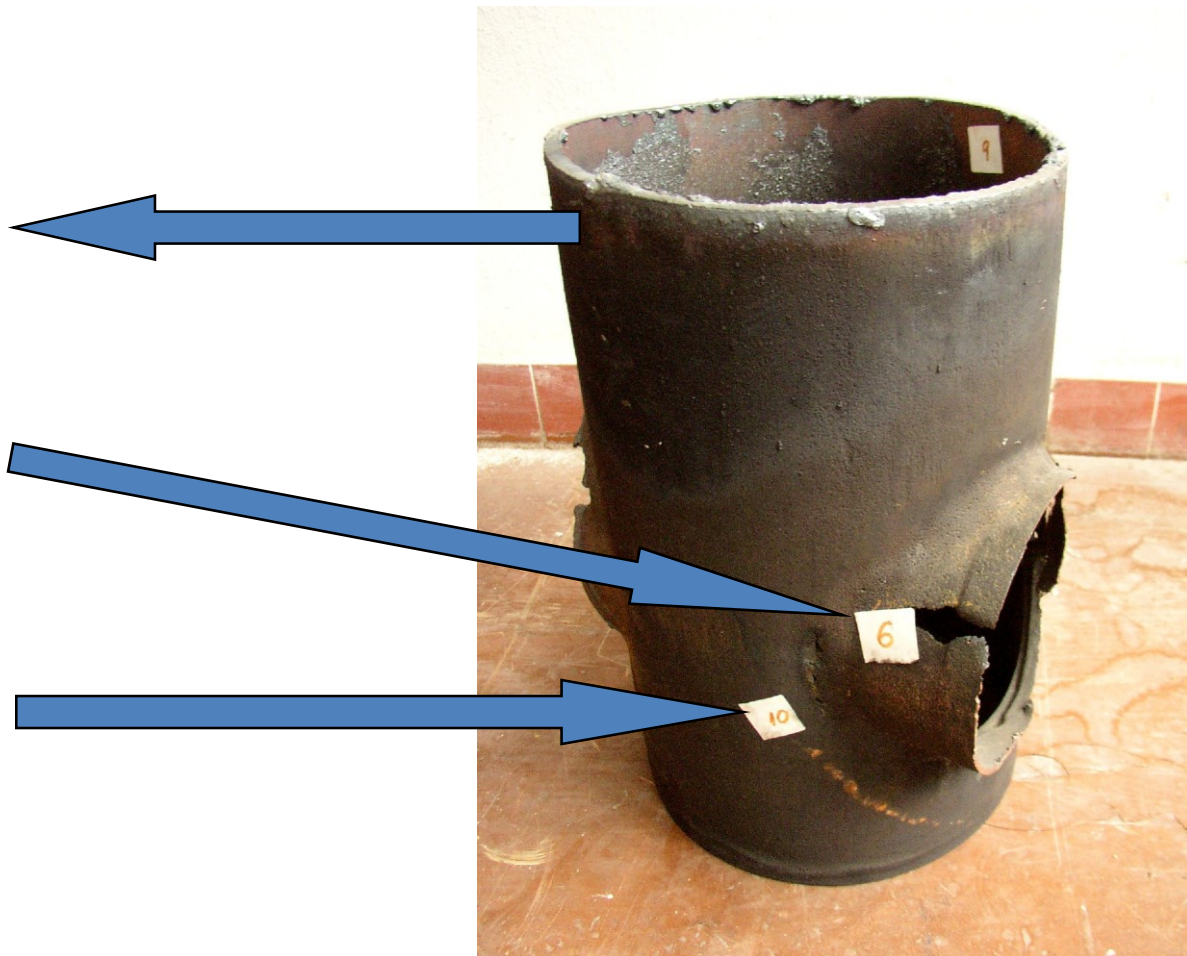
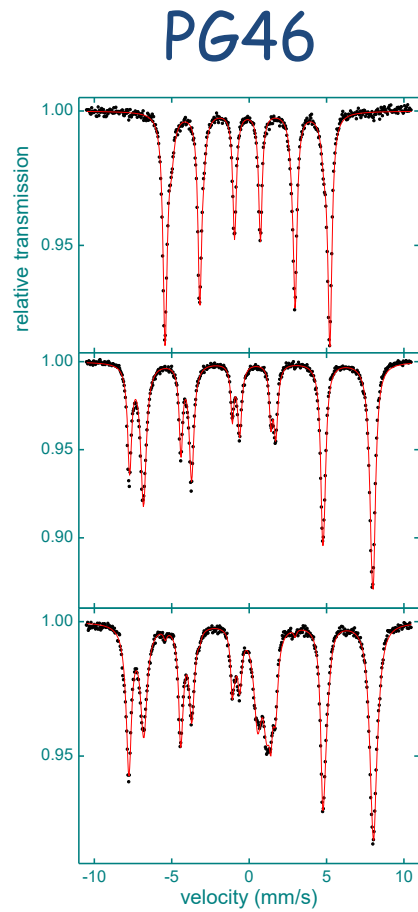
- CEMS: $\text{Fe}_{76}\text{Mo}_8\text{Cu}_1\text{B}_{15}$



Jadrový reaktor



- parogenerátor jadrovej elektrárne



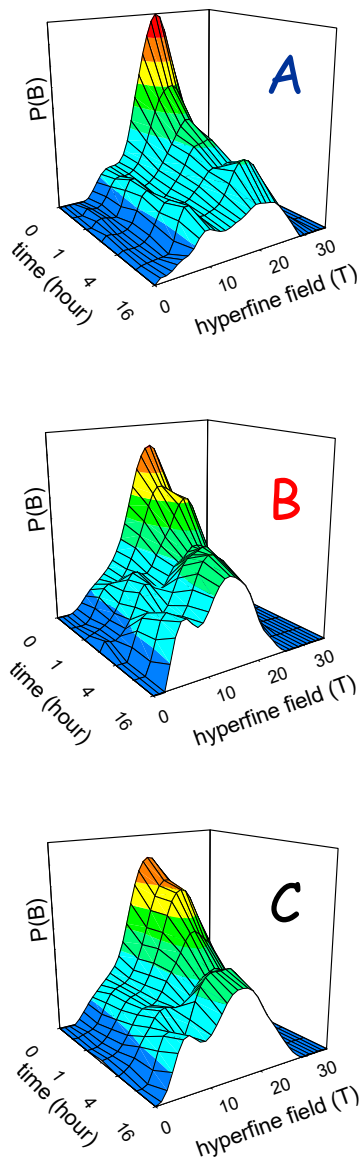
Kinetika kryštalizácie



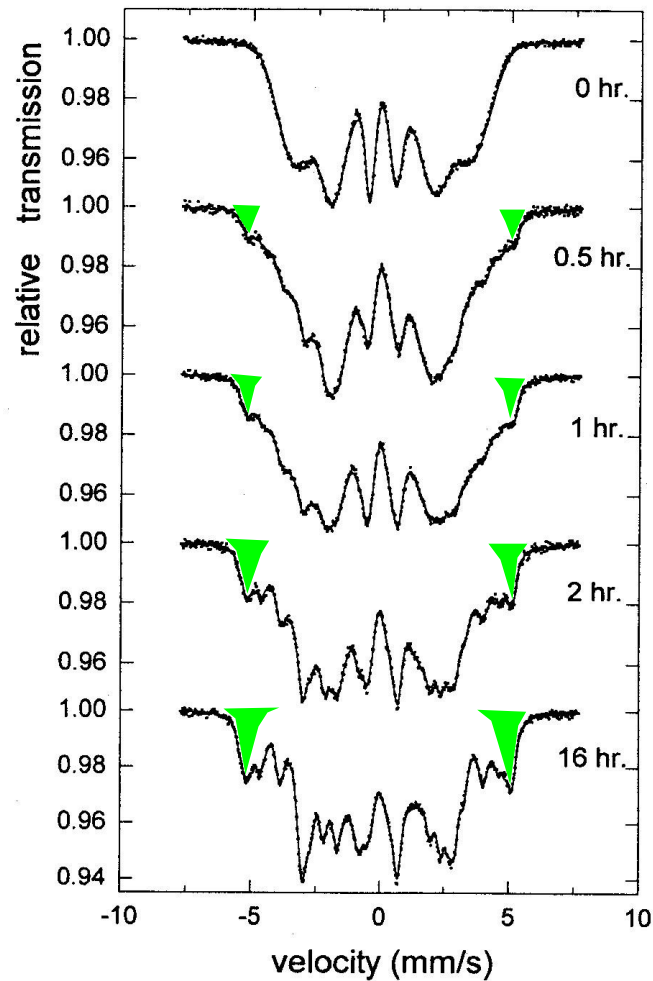
A: $\text{Fe}_{73.5}\text{Cu}_1\text{Nb}_3\text{Si}_{13.5}\text{B}_9$

B: $\text{Fe}_{70.5}\text{Cu}_1\text{Nb}_{4.5}\text{Si}_{16}\text{B}_8$

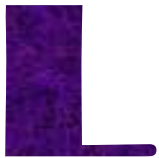
C: $\text{Fe}_{72}\text{Cu}_1\text{Nb}_{4.5}\text{Si}_{13.5}\text{B}_9$



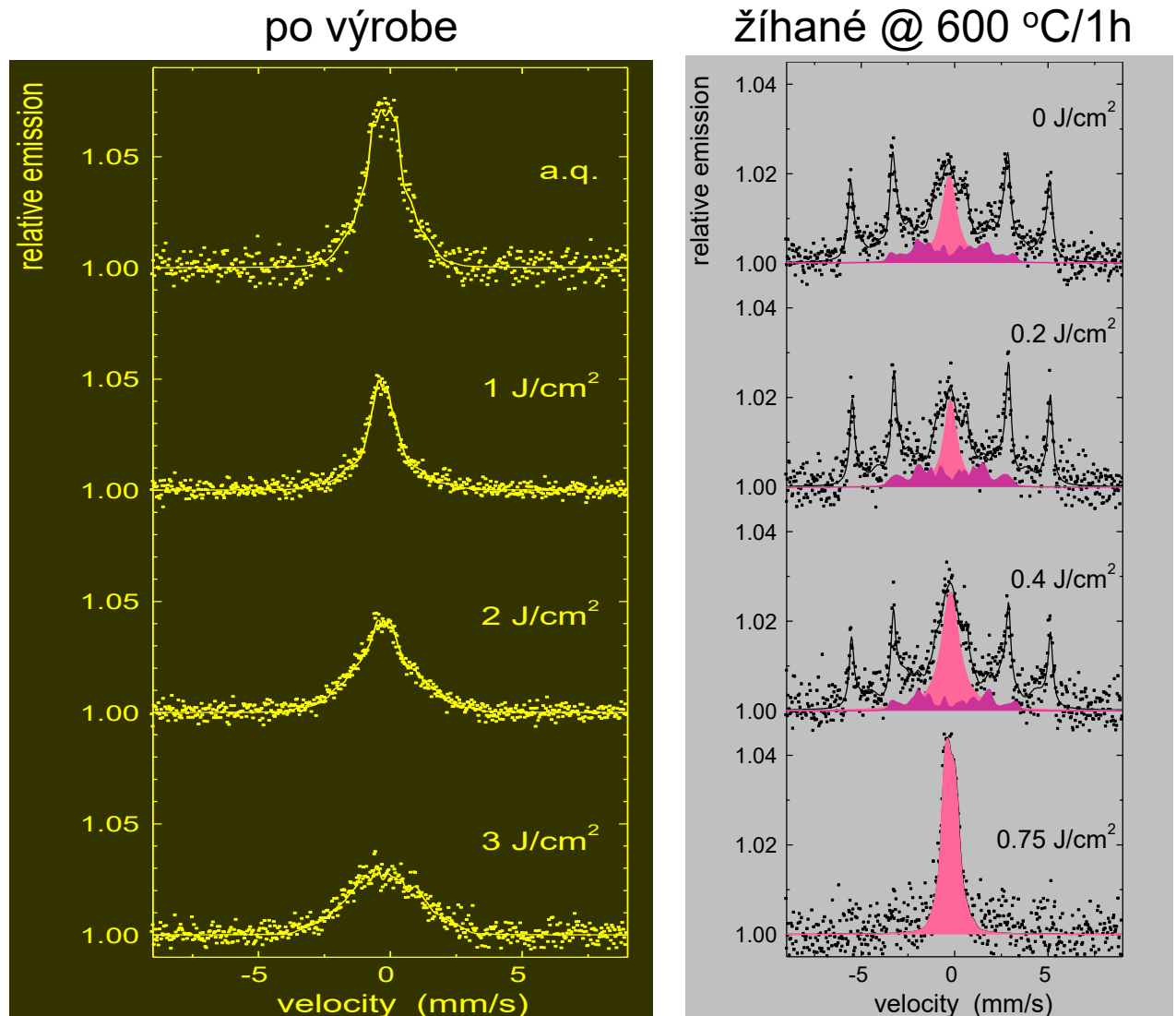
C annealed @ 550°C

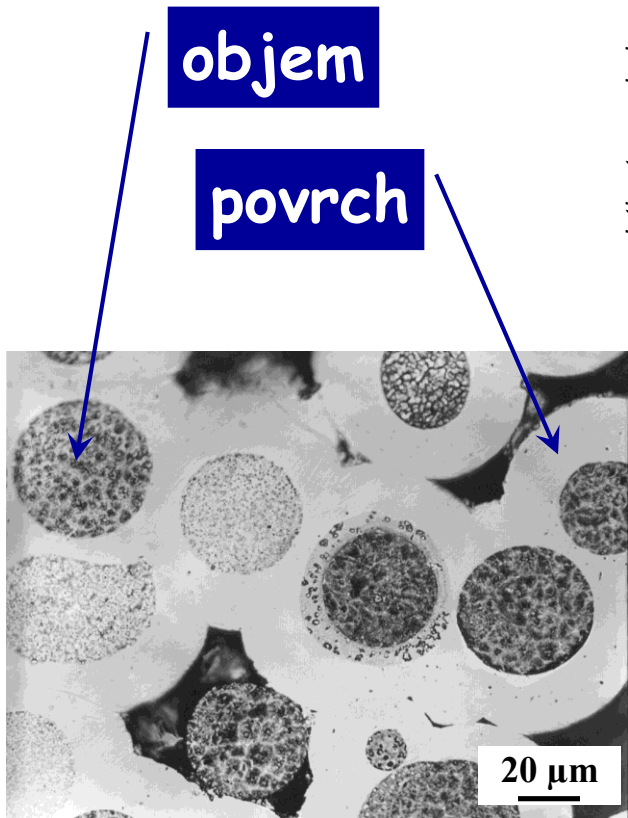
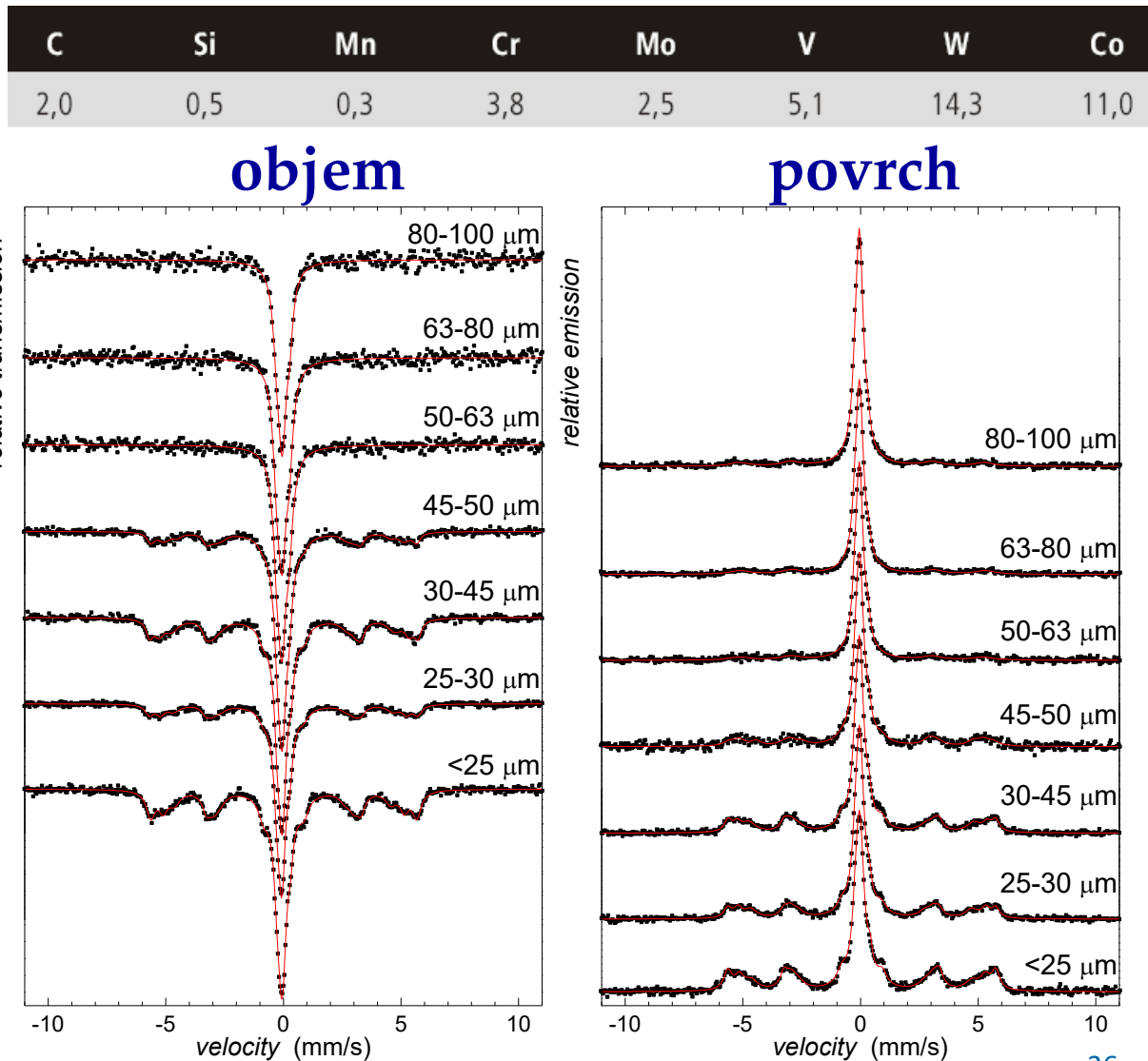


Laserové ožiarenie

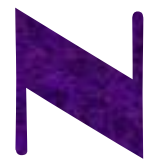


- $\text{Fe}_{76}\text{Mo}_8\text{Cu}_1\text{B}_{15}$
 - excimerový laser
 - N_2 atmosféra



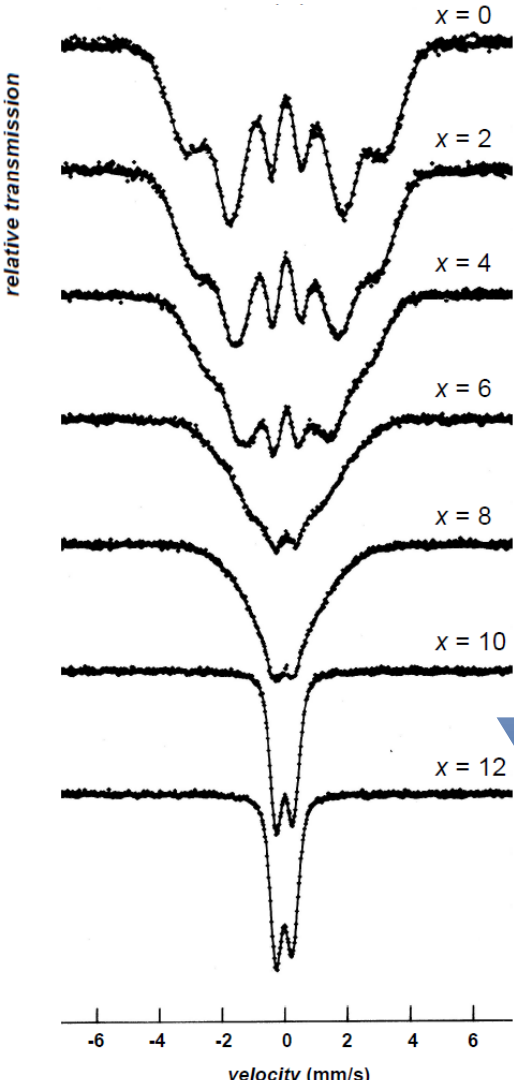


Neutrónové ožiarenie



- $\text{Fe}_{30}\text{Ni}_{48-x}\text{Cr}_x\text{Mo}_2\text{Si}_5\text{B}_{15}$
 - 10^{19} n/cm^2

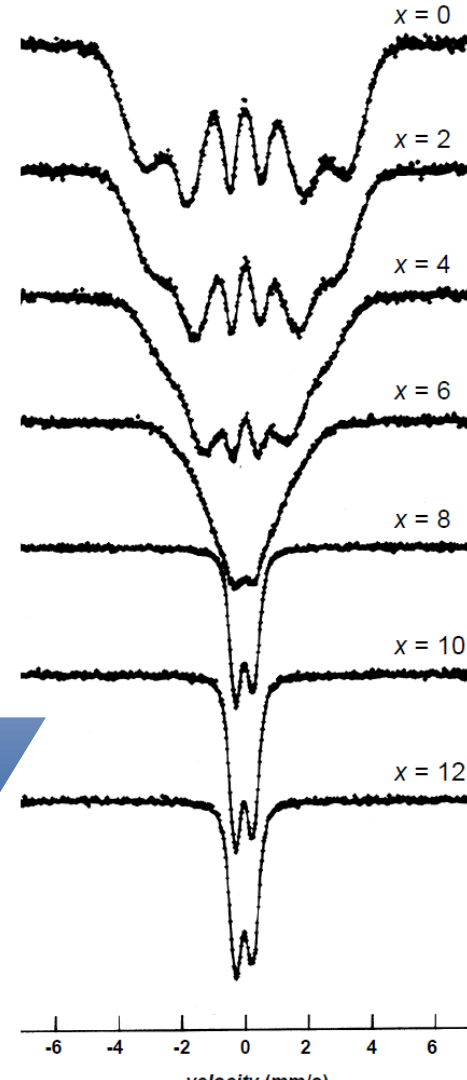
po príprave



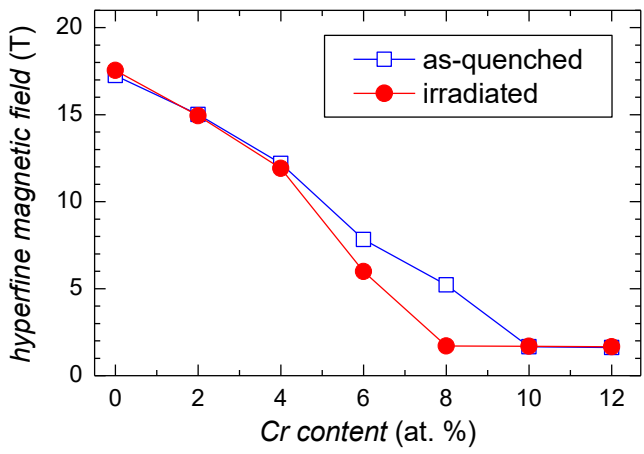
ferro

para

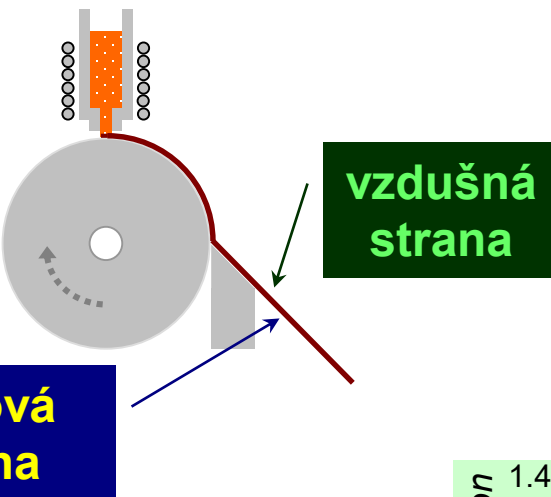
po ožiarení



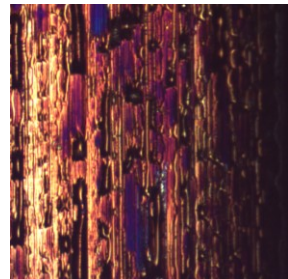
Miglierini M: *Phys. Rev. B* **44** (1991) 7225



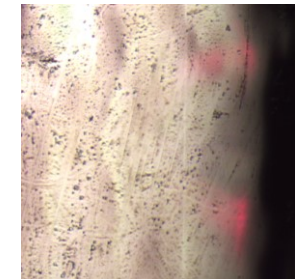
Oxidácia povrchu



valcová strana

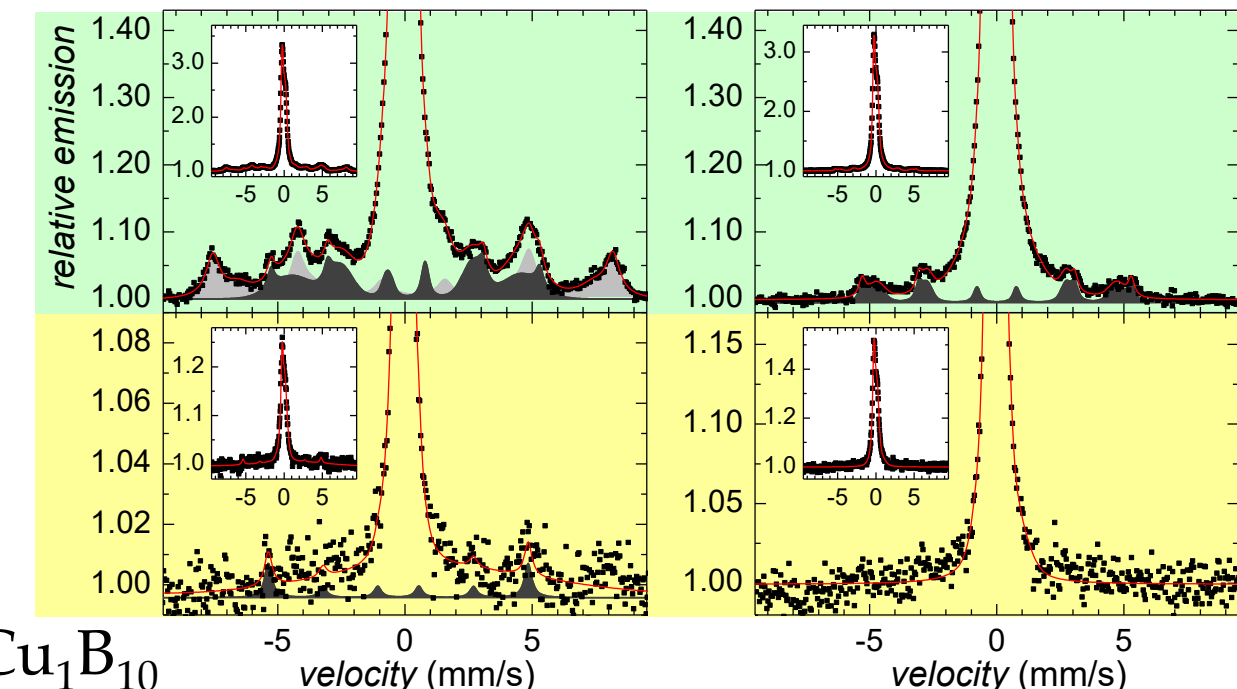
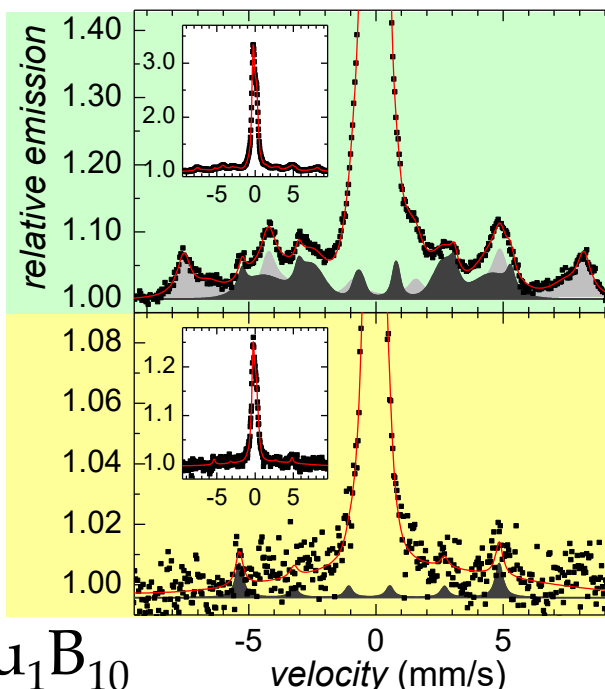


vzdušná strana



valcová
strana

CEMS
 ~ 200 nm

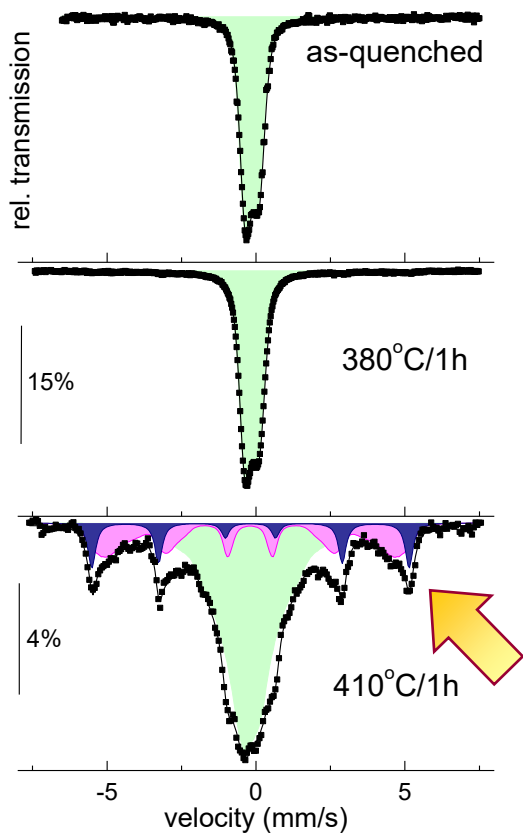


- $\text{Fe}_{81}\text{Mo}_8\text{Cu}_1\text{B}_{10}$
 - po príprave

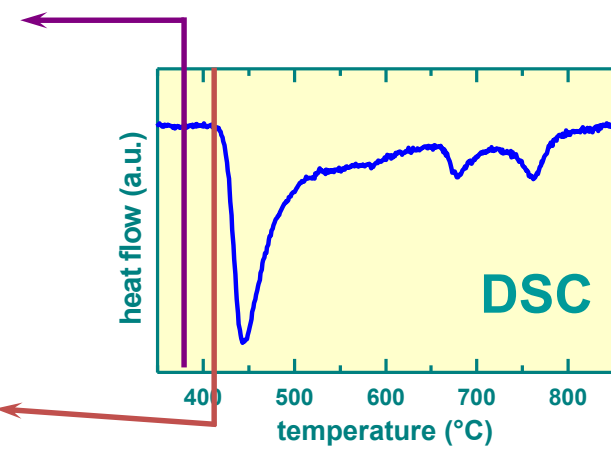
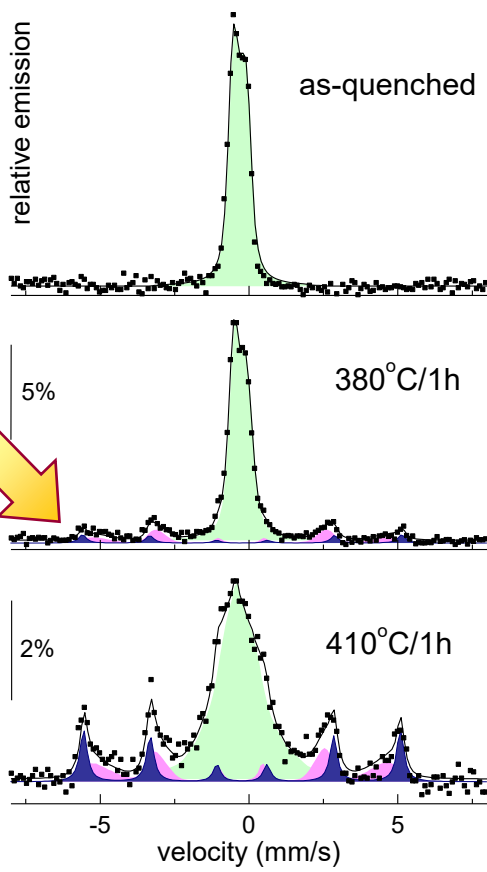
Počiatok kryštalizácie



transmisiu geometria

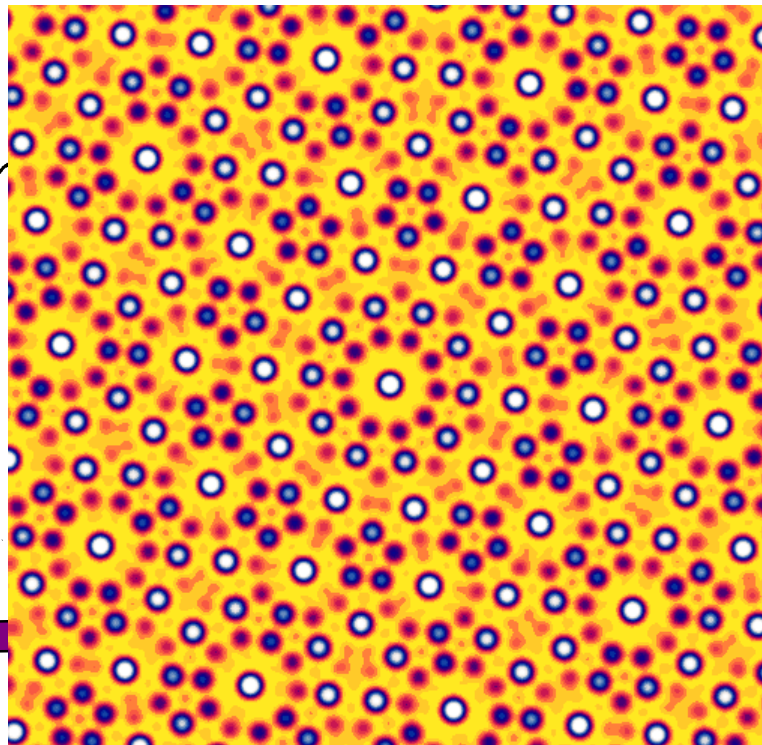
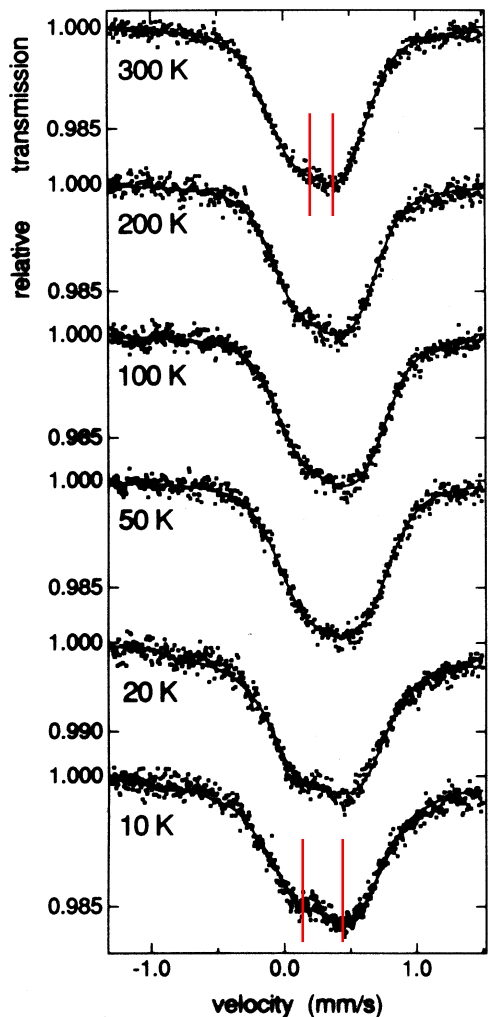


experiment CEMS



Quázikryštály

■ $\text{Al}_{40}\text{Cu}_{9.7}\text{Ge}_{25}\text{Mn}_{25}^{57}\text{Fe}_{0.3}$



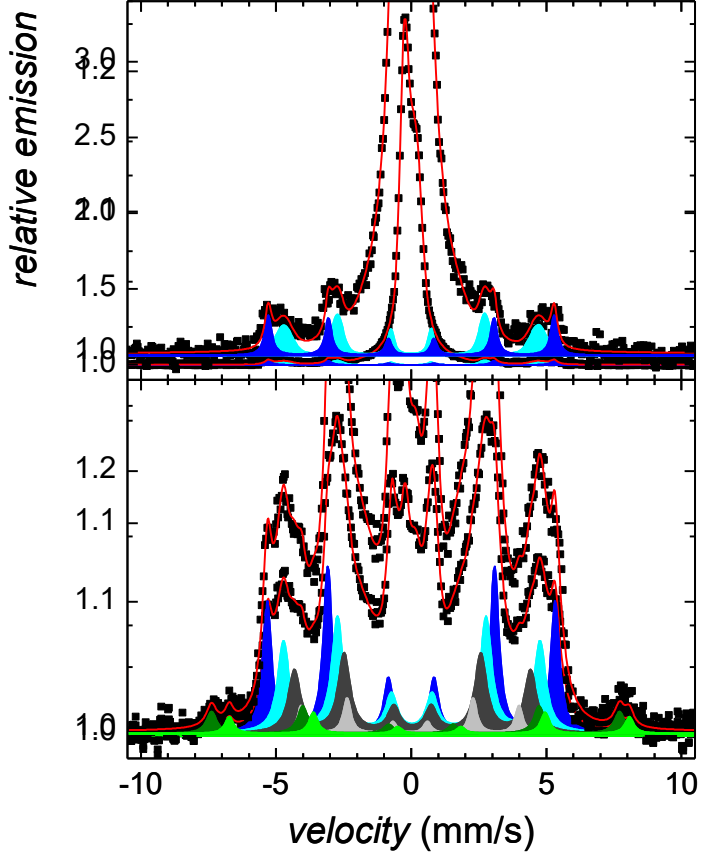
$T_c = 467 \text{ K}$ - magnetické merania ?

$T_c = 30 \text{ K}$ - Mössbauerova spektrometria

Radiačné poškodenie



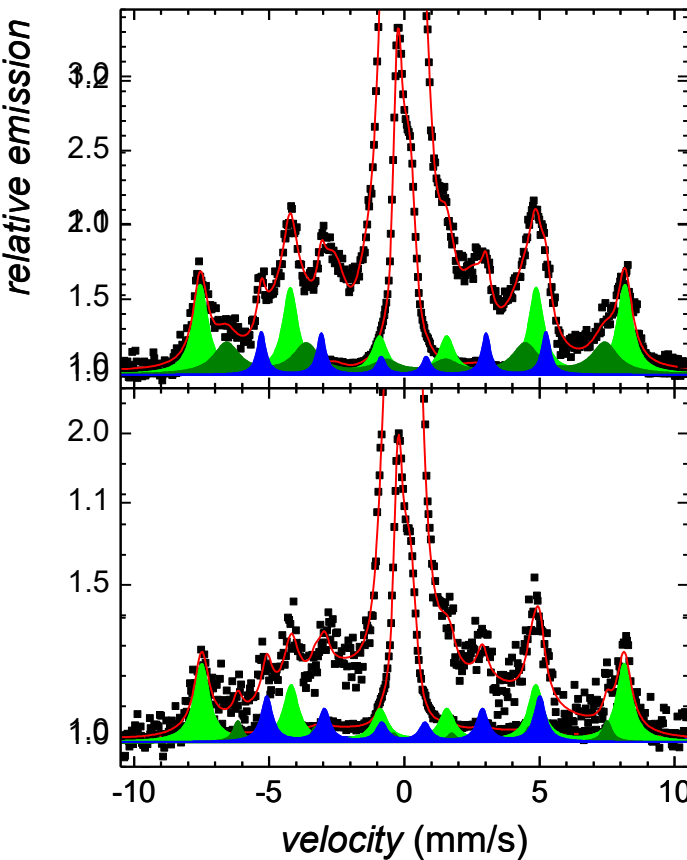
vzdušná strana



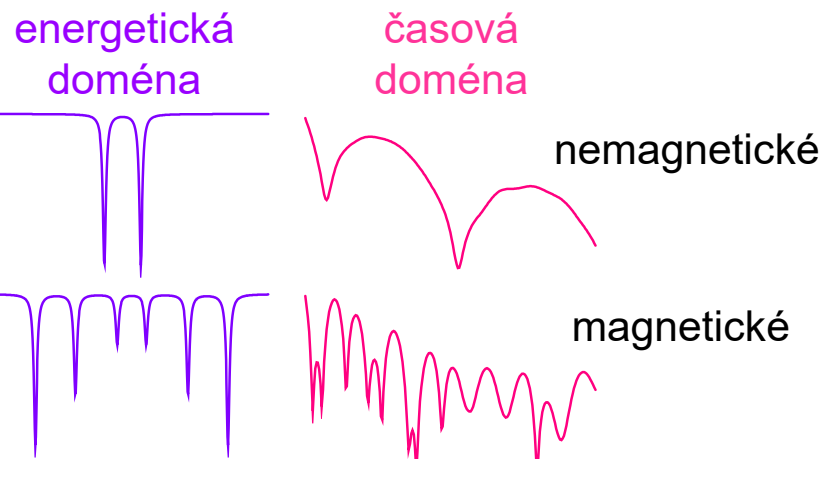
po príprave

$$2.5 \times 10^{17} \text{ N}^+/\text{cm}^2$$

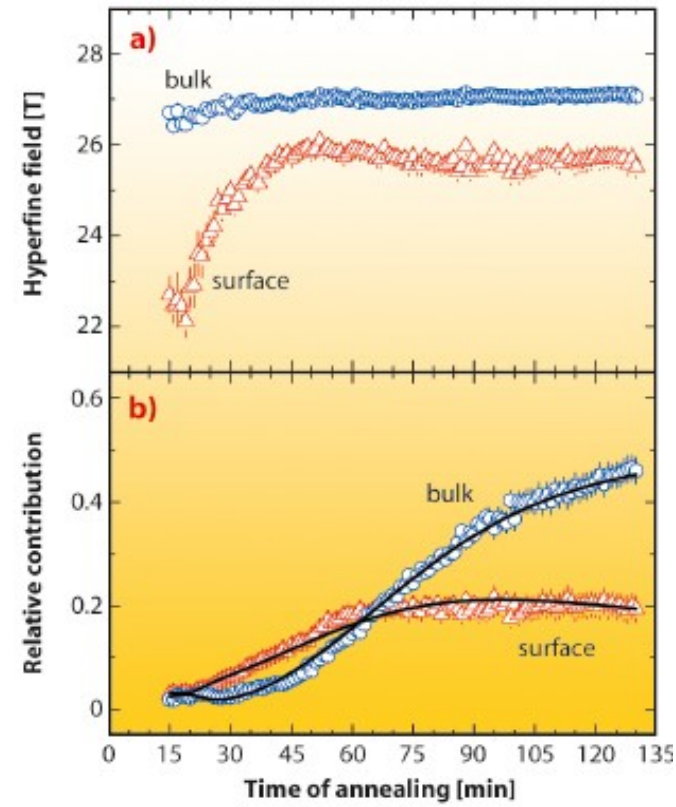
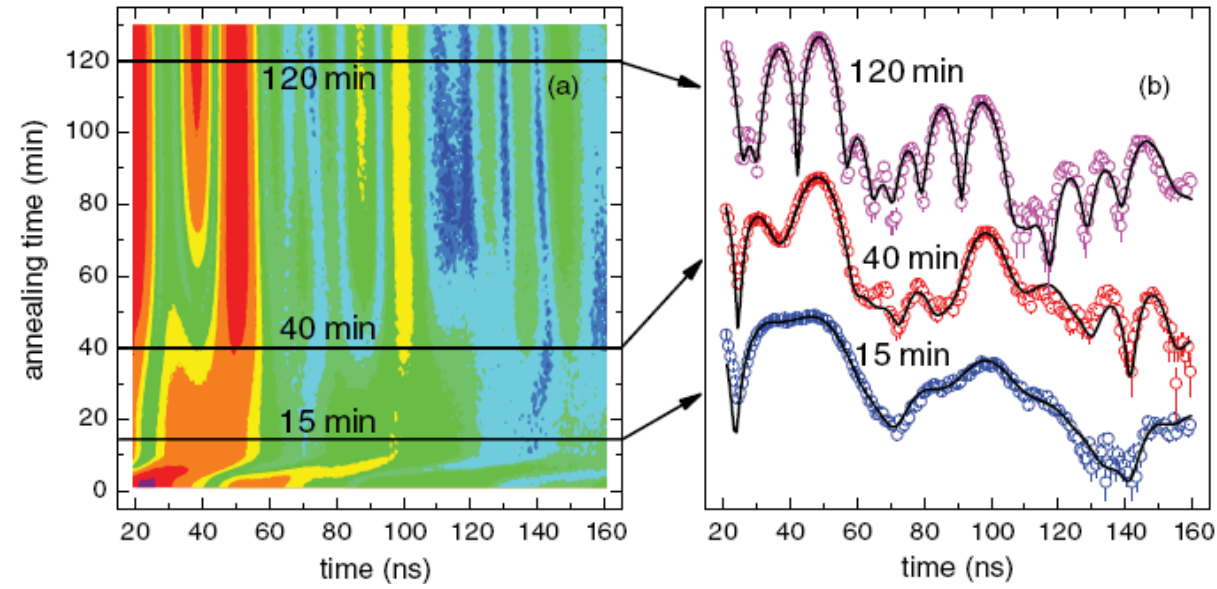
valcová strana



Synchrotronové žiarenie



- kovové sklo $\text{Fe}_{90}\text{Zr}_7\text{B}_3$
- izotermické žíhanie @ 743 K

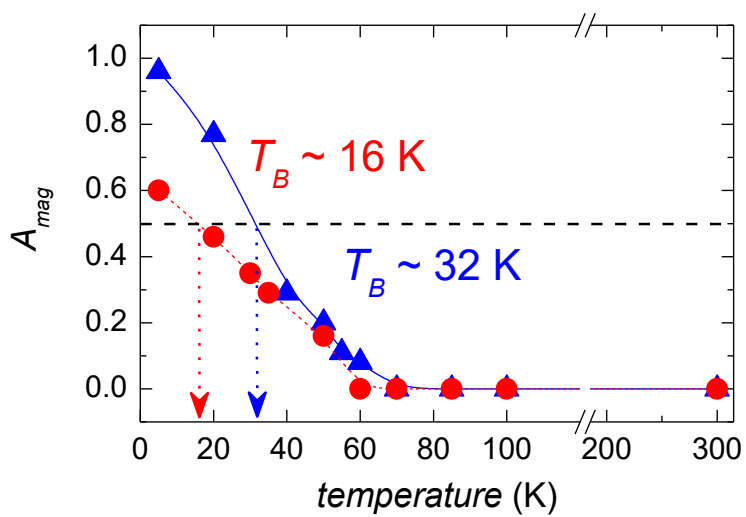


Teplotné merania

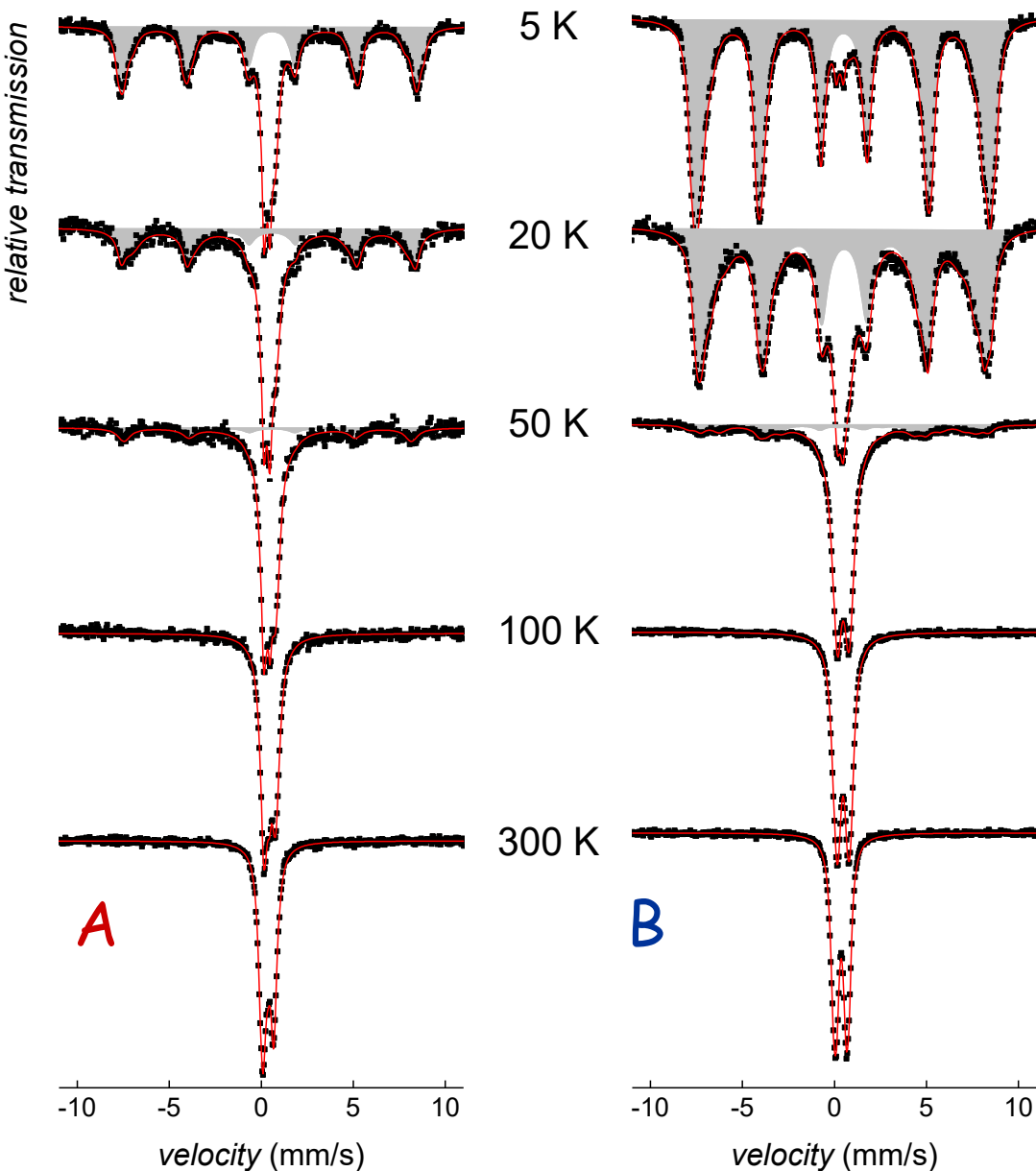


feritín:

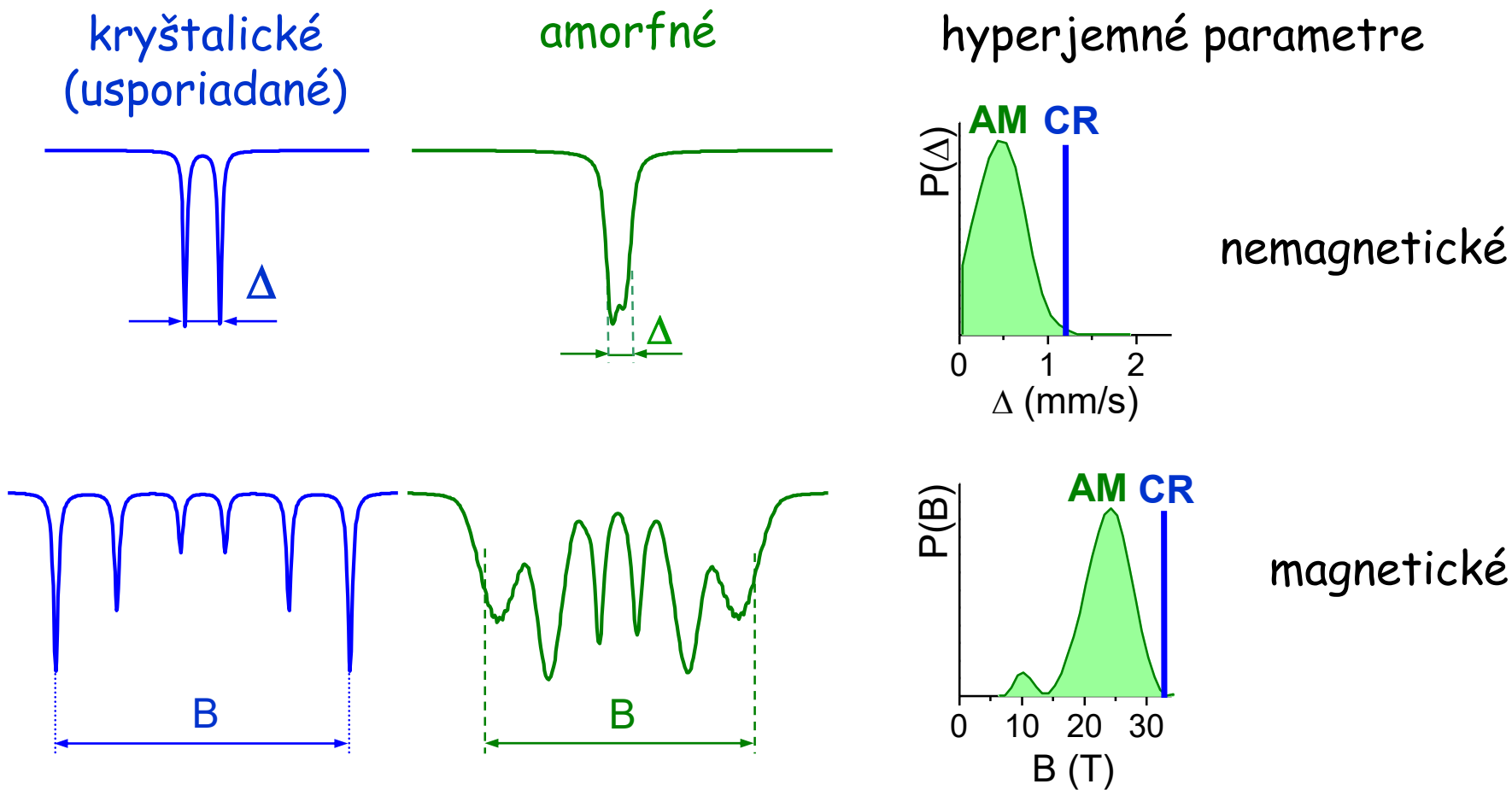
- A – ľudská slezina
- B – konská slezina



Miglierini M, Lancok A:
Acta Phys Pol A **118** (2010) 944

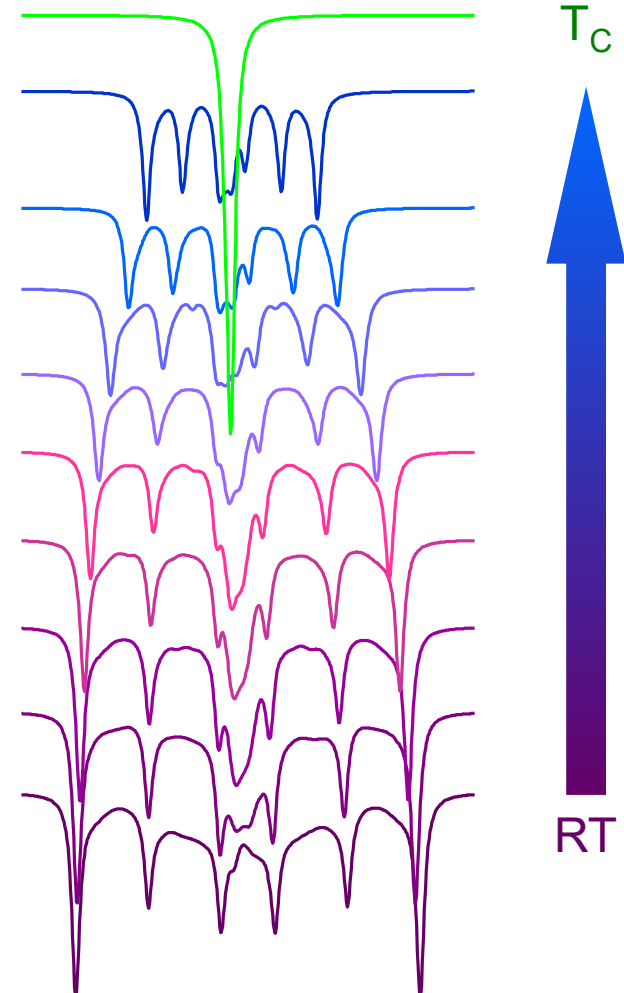
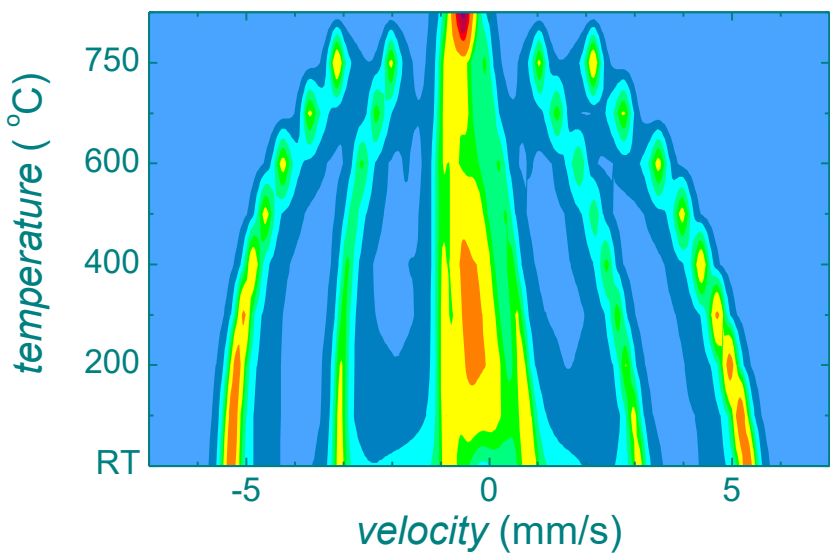
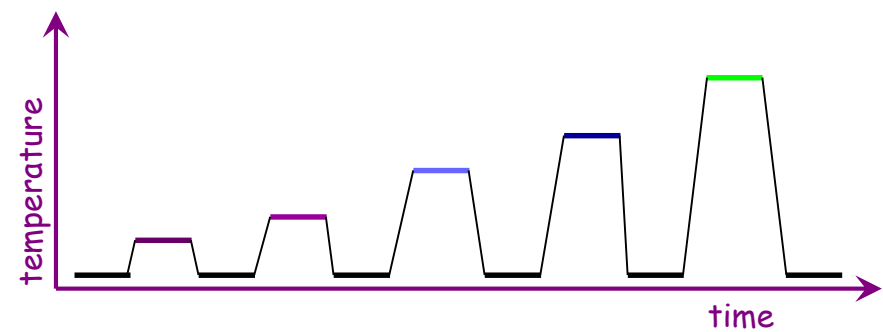


Usporiadanosť vs. neuspriadanost

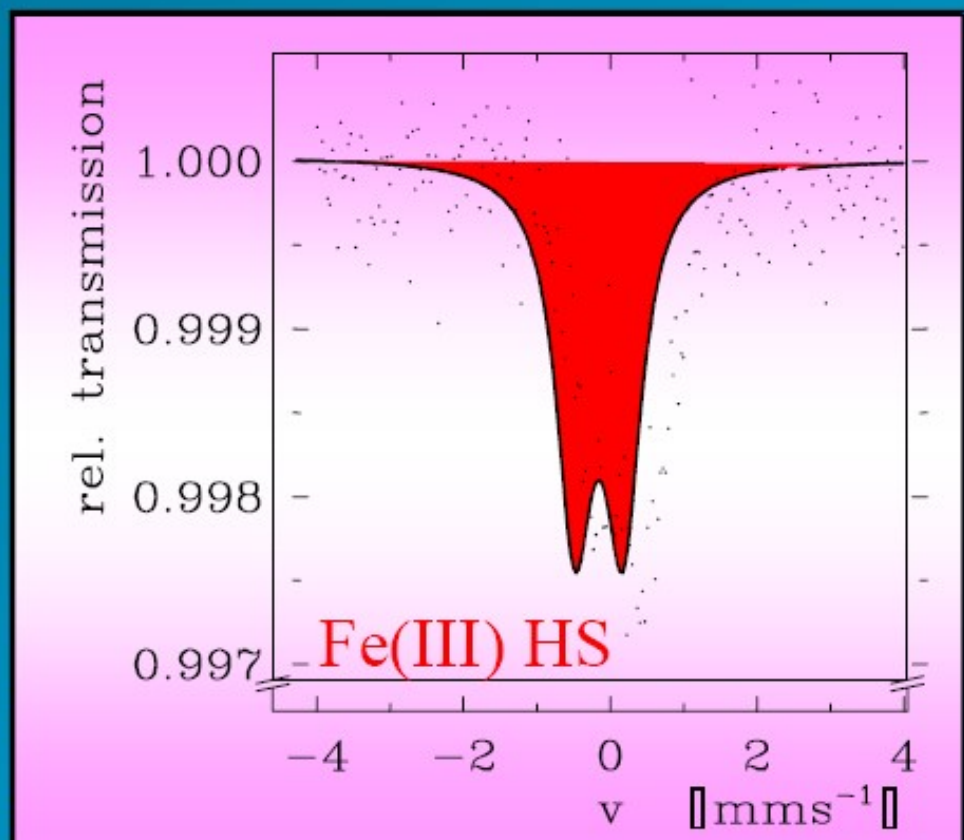


Vysokoteplotné merania

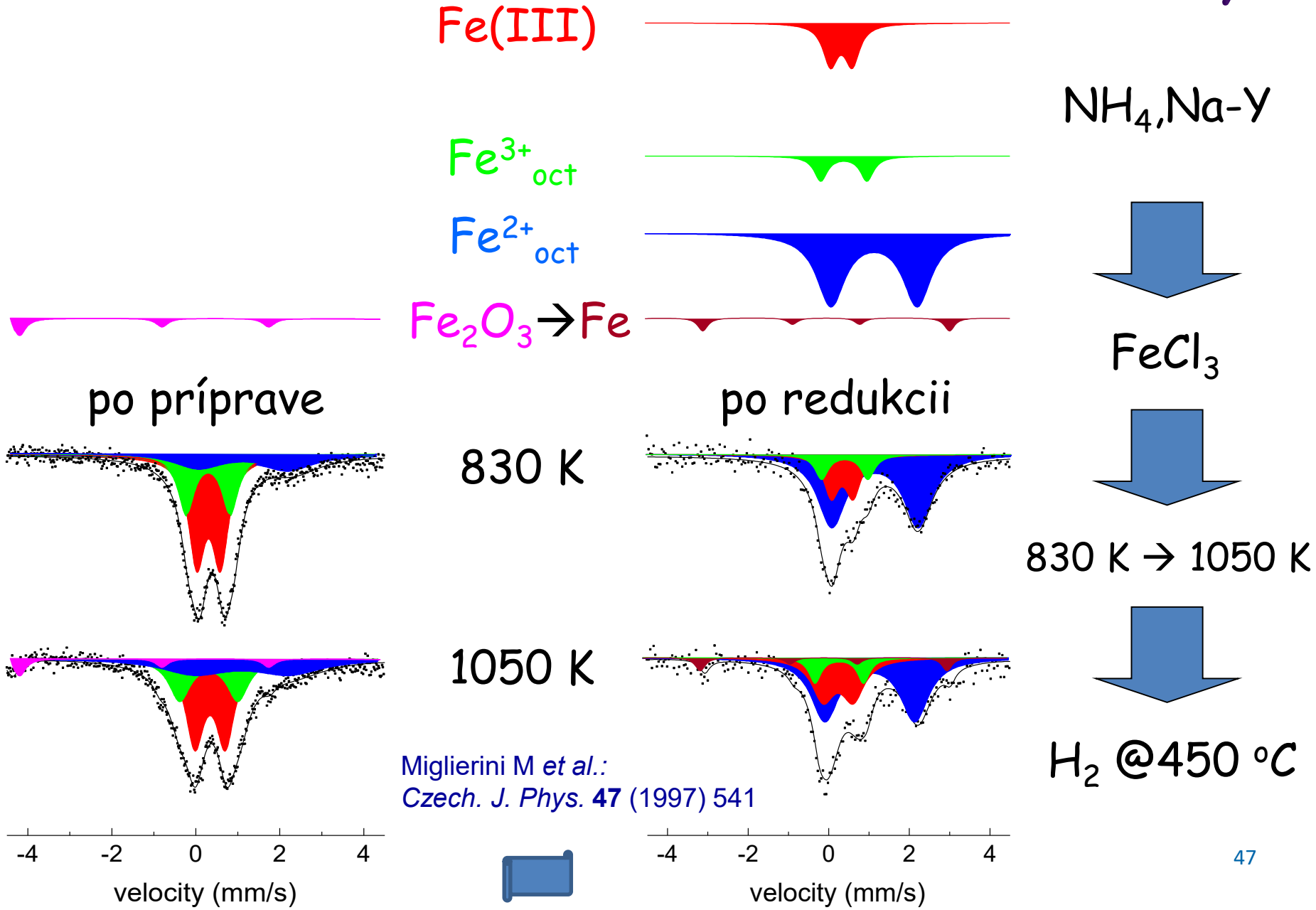
- Curieho teplota kryštalickej fázy
- nc- $\text{Fe}_{90}\text{Zr}_7\text{B}_3$



Eisen in französischem Rotwein



Y-zeolity



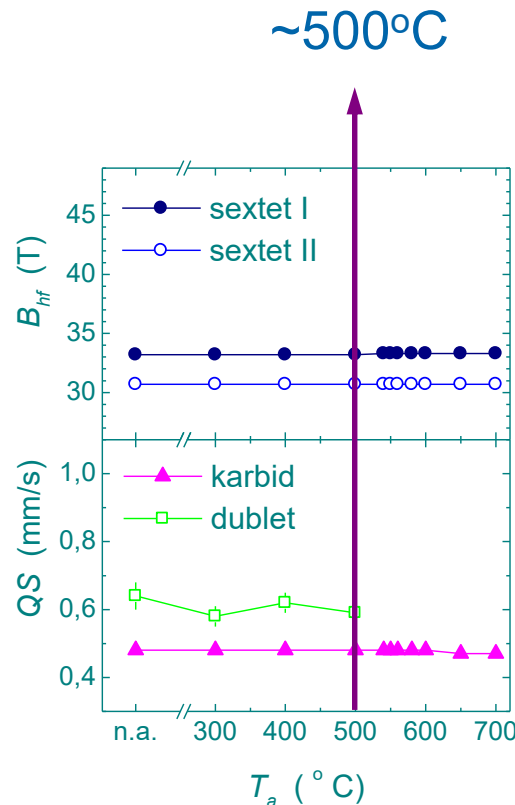
Zliatiny so železom

Z

■ hypereutektická zliatina železa

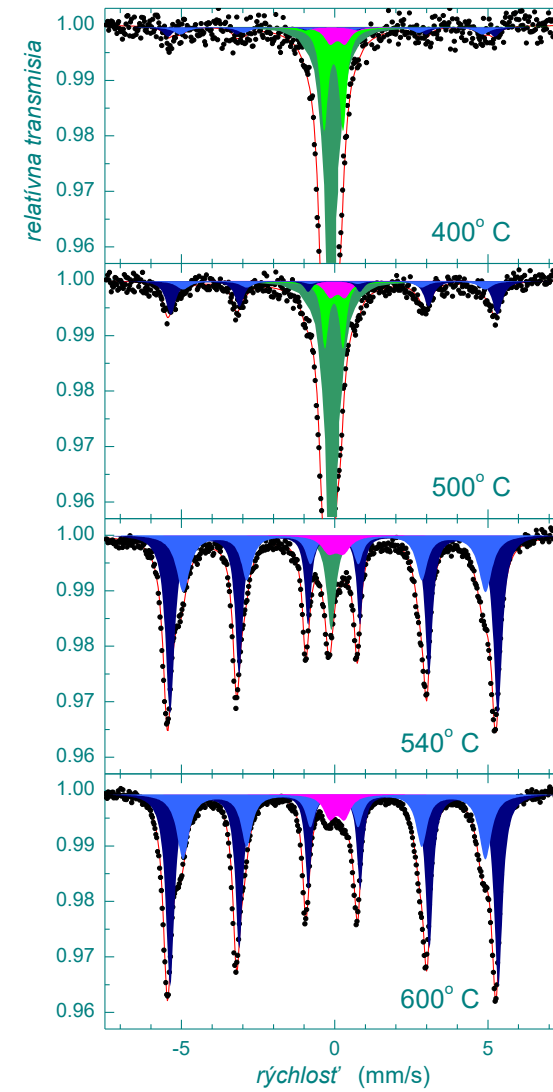
- 3 % C, 3 % Cr, 12 % V

fázová premena: fcc \rightarrow bcc



ferit,
martenzit

austenit
karbid

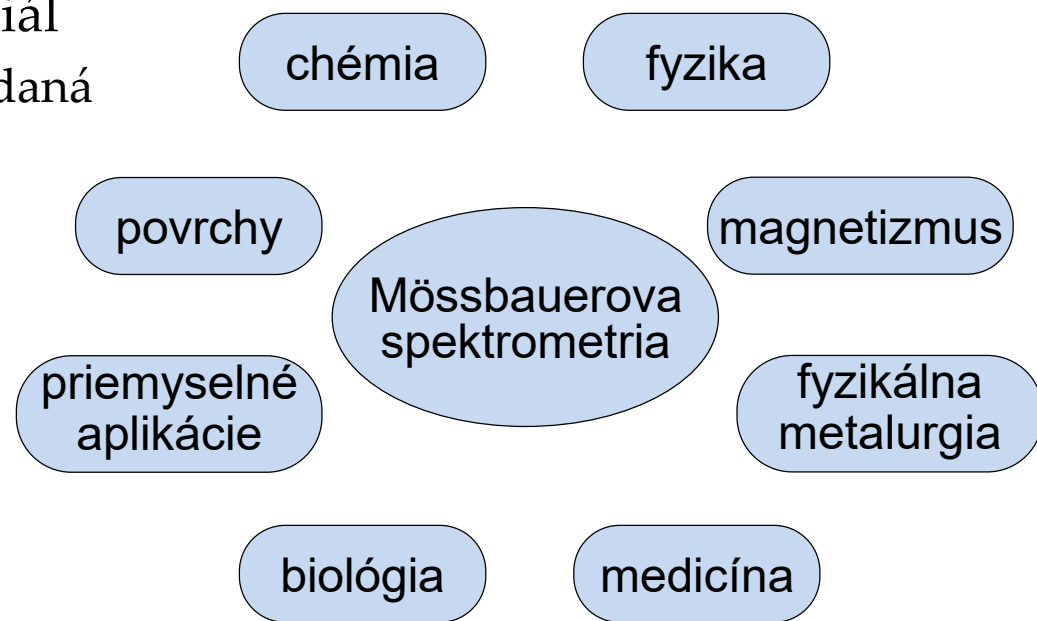


Zhrnutie

Mössbauerova spektrometria:

■ výhody ☺

- nedeštruktívna technika
- vysoký diagnostický potenciál
 - usporiadaná vs. neusporiadaná štruktúra
- extrémna citlivosť
- široký rozsah aplikácií



■ nevýhody ☹

- používajú sa rádionuklidy
 - polčas rozpadu
 - bezpečnosť
 - autorizácia
- vzorky v tuhom stave

Kde, kedy a aké usporiadanie identifikujeme.